

Journal of Natural Environmental Hazards, Vol.12, Issue 36, June 2023

Variability and trend of changes in the severity-area of drought and wet in Iran

Mostafa Karimi^{1*}, Sousan Heidari²

1. Corresponding Author, Assistant Professor, Department of Physical Geography, Faculty of Geography, Tehran University, Tehran, Iran

2. Ph.D. Students of climatology, Department of Physical Geography, Faculty of Geography, Tehran University, Tehran, Iran

Article Info

Article type:

Research Article

Article history:

Received: 29 May 2022

Revised: 08 November 2022

Accepted: 12 November 2022

Keywords:

Precipitation variability, Dry periods, Wet periods, ZSI index, ERA5 data.

ABSTRACT

This study aims to investigate the variability and trend of changes in area severity of wet and drought on annual, seasonal, and monthly scales in Iran. For this purpose, the ZSI index, Mann-Kendall trend test, and the monthly precipitation data (ERA5) of the European Centre for Medium-Range Weather Forecasts (ECMWF) for the period 1979-2021 were used. The results showed that, in annual wet-drought intensities, there are three distinct periods; 1980s with almost equal wet-drought area 1990s wet dominate, and the first two decades of the 21st century, which began in 1999-2000 rainy year with more than 97% of the country (70% very severe drought area) under drought conditions where the most areas of drought observed. The pattern of variability of wet-drought intensity area in winter and spring is almost similar to the annual whereas it is different in autumn from the annual pattern. However wet area increases at the end of the period. In this season in November, the area of drought intensities, especially (moderate and severe) has been decreasing and in contrast, the area of wet intensities has been increasing. But, the trend of wet-drought intensity was reversed in winter and spring, especially in January and to some extent in March. The intensity of the index also has a trend when the increase in the intensity of drought classes (increasing the intensity of the negative index) is more pronounced. Overall, in all three scales, the incidence of consecutive weak and moderate droughts and very severe and severe wet with the low sequence was higher. Increasing the intensity and area of wet in autumn may indicate a change in the precipitation regime. In contrast, the increase in droughts, especially high-intensity droughts in the two main rainy seasons of Iran is a warning for serious water resources management in the warm period.

Cite this article: Karimi, M., & Heidari, S. (2023). Variability and trend of changes in the severity-area of drought and wet in Iran. Journal of Natural Environmental Hazards, 12(36), 129-150. DOI: 10.22111/jneh.2022.42519.1905



© Mostafa Karimi

DOI: 10.22111/jneh.2022.42519.1905

Publisher: University of Sistan and Baluchestan

* Corresponding Author Email: Mostafakarimi.a@ut.ac.ir

مجله علمی پژوهشی مخارطات محیط طبیعی، دوره ۱۲، شماره ۳۶، تیر ۱۴۰۲

تغییرپذیری و روند تغییرات شدت-گسترهای ترسالی و خشکسالی در ایران

مصطفی کریمی^{۱*}، سوسن حیدری^۲

اطلاعات مقاله

نوع مقاله: مقاله پژوهشی	چکیده
تاریخ دریافت: ۱۴۰۱/۰۳/۰۸	هدف این پژوهش بررسی تغییرپذیری و روند تغییرات گسترهای شدت‌های ترسالی-خشکسالی در مقیاس‌های سالانه، فصلی و ماهانه در ایران است. برای این منظور، از شاخص ZSI، آزمون روند من-کندا و داده‌های بارش ماهانه بازکاوی شده (ERA5) مرکز پیش‌بینی میان‌مدت اروپا (ECMWF) در بازه زمانی ۱۹۷۹-۲۰۲۱ استفاده شد. نتایج پژوهش نشان داد که در گستره شدت‌های ترسالی-خشکسالی سالانه کشور، سه دوره مشخص: دهه ۸۰ با گستره‌های تقریباً برابر ترسالی-خشکسالی، دهه ۹۰ گستره‌های ترسالی و دو دهه اول قرن ۲۱ میلادی که در شروع آن در سال آیی ۱۹۹۹-۲۰۰۰ بیش از ۹۷ درصد کشور (۷۰ درصد مساحت خشکسالی بسیارشده) تحت شرایط خشکسالی بوده، بیشتر گستره‌های خشکسالی مشاهده می‌گردد. الگوی تغییرپذیری گسترهای شدت ترسالی-خشکسالی در فصل زمستان و بهار تقریباً مشابه سالانه بوده، اما در فصل پاییز متفاوت از الگوی سالانه، در اوخر دوره، افزایش گسترهای ترسالی مشاهده می‌گردد. در این فصل در ماه نومبر مساحت شدت‌های افزایشی مختلف خشکسالی بهویژه (متوسط و شدید) کاهشی و در مقابل مساحت شدت‌های ترسالی افزایشی بوده است. اما در زمستان و بهار به خصوص ماه‌های زانویه و تا حدودی مارس روند گسترهای شدت ترسالی-خشکسالی بر عکس بوده است. شدت شاخص نیز در برخی دوره‌های زمانی دارای روند بوده که افزایش شدت طبقات خشکسالی (افزایش شدت منفی شاخص) بازتر است. در کل در سه مقیاس ماهانه، فصلی و سالانه، رخداد خشکسالی‌های ضعیف و متوسط اما متواالی زیاد، در حالی که ترسالی‌های بسیارشده و شدید با توالی کم، بیشتر بوده است. افزایش گسترهای خشکسالی شدید مشهودتر و شدت طبقات خشکسالی نیز کمی افزایش یافته است. افزایش شدت شاخص و گسترهای ترسالی در فصل پاییز شاید گویای تغییر رژیم بارشی و در مقابل افزایش گسترهای خشکسالی به خصوص خشکسالی‌های شدید در دو فصل اصلی بارشی ایران (زمستان و بهار) هشداری برای مدیریت منابع آب در دوره گرم سال باشد.
تاریخ ویرایش: ۱۴۰۱/۰۸/۱۷	واژه‌های کلیدی:
تاریخ پذیرش: ۱۴۰۱/۰۸/۲۱	تغییرپذیری بارش، دوره‌های خشک، دوره‌های تر، شاخص ERA5، داده‌های ZSI

استناد: کریمی، مصطفی، حیدری، سوسن. (۱۴۰۲). تغییرپذیری و روند تغییرات شدت-گسترهای ترسالی و خشکسالی در ایران. *مخارطات محیط طبیعی*, ۱۲(۳۶)، ۱۵۰-۱۲۹.

DOI: 10.22111/jneh.2022.42519.1905



مصطفی کریمی*, سوسن حیدری.

ناشر: دانشگاه سیستان و بلوچستان

۱. استادیار اقلیم‌شناسی، گروه جغرافیای طبیعی، دانشکده جغرافیای دانشگاه تهران (نویسنده مسئول)

۲. دانشجوی دکترا اقلیم‌شناسی، گروه جغرافیای طبیعی، دانشکده جغرافیای دانشگاه تهران

مقدمه

فرین‌های ناشی از رفتار زمانی بارش (ترسالی و خشکسالی) از مخاطرات طبیعی از سطح محلی تا جهانی هستند که به دلیل شرایط جوی ویژه، بهخصوص در مناطق خشک و نیمه‌خشک بیشتر رخ می‌دهند (وانگ و ژانگ^۱، ۲۰۰۸؛ گائو و همکاران^۲، ۲۰۱۶). این حوادث شدید دو قطبی می‌تواند آسیب‌پذیری و ریسک را در جامعه، سریع و به صورت غیرخطی افزایش و کارآیی مدیریت منابع آب را کاهش دهد (مدرس و همکاران، ۲۰۱۶). یکی از روش‌های معمول در بررسی ترسالی-خشکسالی، واکاوی نوسان‌های داده‌های بارشی به عنوان عامل اصلی رخداد ترسالی-خشکسالی است (پرک و همکاران، ۱۳۹۴؛ رودریگز-پوئلا و همکاران^۳، ۱۹۹۸؛ نستوس و زرفوس^۴، ۲۰۰۹). بنابراین، بررسی رفتار زمانی بارش در هر دو سوی زیاد و کم توزیع آن به ویژه در مناطق خشک و نیمه‌خشک جهان، بسیار حیاتی است (پترسون و همکاران^۵، ۲۰۱۳؛ سینگ و همکاران^۶، ۲۰۱۴؛ فورزیری و همکاران^۷، ۲۰۱۶). بارش را می‌توان یکی از متغیرهای پیچیده و غیردینامیک جو دانست که دارای تغییرات زمانی و مکانی قابل ملاحظه‌ای است (عزیزی، ۱۳۷۹؛ میرزا، ۲۰۰۲؛ ایلی و همکاران^۸، ۱۹۹۳؛ پرک و همکاران، ۱۳۹۷؛ کریمی و همکاران، ۱۳۹۸). انحراف منفی بارش از مقدار نرمال نشان‌دهنده‌ی خشکسالی (اصلاحی و همکاران، ۱۳۹۳) و بر عکس، انحراف مثبت از مقدار نرمال، نشان-دهنده‌ی ترسالی می‌باشد (عسگری و رحیم‌زاده، ۱۳۸۲؛ معصوم‌پور، ۱۳۸۴).

ترسالی و خشکسالی همانند دیگر مخاطرات با ویژگی‌های متعددی همانند: زمان شروع و خاتمه، دوره تداوم و ماندگاری، فراوانی وقوع، گستره و شدت مورد بررسی قرار گرفته‌اند. این ویژگی‌ها از محلی به محل دیگر متفاوت می‌باشند (خسروی و همکاران، ۱۳۹۱). در این بین، شدت ترسالی-خشکسالی (قدرت ترسالی-خشکسالی) از مشخصه‌های مهم این مخاطرات است؛ زیرا به طور مستقیم با اثرات و پی‌آمدات آن‌ها مرتبط است. شدت‌های این رخدادها را می‌توان به روش‌های مختلفی از جمله شاخص‌های خشکسالی که به طور فزاینده‌ای در مطالعات علمی استفاده می‌شوند (سرانو و همکاران^۹، ۲۰۱۰؛ میشرا و همکاران^{۱۰}، ۲۰۰۹)، اندازه‌گیری کرد. همچنین نتایج حاصل از واکاوی گستره این مخاطرات نشان می‌دهد چگونه رخدادها به صورت الگوهای پراکنده و محلی، منطقه‌ای یا نیمه‌فراگیر و فراگیر توزیع شده‌اند.

بارش، یکی از عناصر اصلی ساخت اقلیم در هر محل می‌باشد. یکی از مهم‌ترین ویژگی این عنصر تغییرپذیری بالای آن هم در بعد مکان و هم در بعد زمان به ویژه در اقلیم‌های خشک و نیمه‌خشک همانند ایران است (ashrifi، ۱۳۸۹؛ علیجانی و همکاران، ۱۳۹۴؛ کریمی و همکاران، ۱۳۹۸). با توجه به تغییرپذیری بالای بارش ایران در مقیاس‌های مختلف که منجر به بی‌هنگاری‌های مثبت و منفی و رخداد ترسالی و خشکسالی می‌شود، وقوع این مخاطرات امری بدیهی و پر تکرار در این سرزمین است (مسعودیان و کاویانی، ۱۳۸۷). در چند دهه‌ی اخیر، ایران دوره‌های ترسالی و

1 -Wang and Zhang

2 -Gao et al.

3 -Rodriguez-Puebla et al.

4 -Nastos and Zerefos

5 -Peterson et al.

6 -Singh et al.

7 -Forzieri et al.

8 -Ely et al.

9 -Serrano et al.

10 -Mishra et al.

خشکسالی را با شدت‌های مختلف تجربه کرده است (دوستان، ۱۳۹۸). این رخدادها معلوم عوامل فیزیکی و مکانی پرشماری است که بیشتر ریشه در تغییرپذیری آب‌وهوا و مهم‌تر از همه تغییرپذیری گردش جو منطقه‌ای (رضیئی، ۱۳۸۶؛ فتاحی و بهیار، ۱۳۹۰؛ یزدانی و همکاران، ۱۳۹۰؛ فتاحی و بابایی فینی، ۱۳۹۳؛ رنجبرسعادت آبادی و همکاران، ۱۳۹۳؛ حکیم دوست و همکاران، ۱۳۹۳؛ کیانیان و همکاران، ۱۳۹۷) و همچنین بزرگ مقیاس و دورپیوندی که باعث بی‌ناهنجاری‌هایی در الگوهای گردش جو بهویژه بادهای غربی می‌شوند، دارد (فاطمی و همکاران، ۱۳۹۴، کریمی و همکاران، ۱۳۹۸). همچنین، مطالعات خشکسالی نشان داده که توزیع فراوانی خشکسالی‌ها ایران از الگوی جغرافیایی خاصی تبعیت نمی‌کند (مجرد و همکاران، ۱۳۹۳). در بخش‌های جنوبی کشور، به‌علت افزایش تبخیر- تعرق، شدت خشکسالی افزایش یافته است (تاج بخش و همکاران، ۱۳۹۴). غرب، شرق، جنوب‌غرب و مرکز کشور بیشتر خشکسالی‌های بسیارشده و شدید را داشته‌اند (بابایی فینی و علیجانی، ۱۳۹۲؛ علیزاده و محمدی، ۱۳۹۴). اما در مناطق مرکز، جنوب و جنوب‌شرق خشکسالی‌ها متوسط و ملایم رخ داده است (علیجانی و بابایی فینی، ۱۳۸۸). بخش‌های مرکزی، جنوبی و قسمت‌هایی از شرق ایران از حساسیت بیشتری نسبت به خشکسالی‌ها در مقایسه با سایر نواحی ایران برخوردار می‌باشند (یزدانی و همکاران، ۱۳۹۰). چرا که تشدید بیشتر خشکسالی به‌دلیل آسیب‌پذیری بالاتر این مناطق با شرایط بحرانی‌تر، آسیب‌پذیری خشکسالی را در این مناطق افزایش می‌دهد (سواری و همکاران، ۲۰۲۲). دورنمایی از خشکسالی ایران نشان می‌دهد، طی سی سال آینده شرایط خشکسالی در کشور رو به افزایش است (خزانه‌داری و همکاران، ۱۳۸۸)، که بیشترین تغییر مربوط به جنوب‌شرق کشور می‌باشد (الوانکار و همکاران، ۱۳۹۴)، اما کریمی و جعفری (۱۳۹۸) نشان دادند که در این ناحیه و همچنین شرق و شمال‌شرق پهنه‌های ترسالی رو به افزایش و در مقابل در دیگر نواحی کشور مساحت‌های خشکسالی روند افزایشی داشته‌اند. همچنین ویژگی‌های رخدادهایی ترسالی- خشکسالی ایران، روند وقوع و تغییرات ویژگی‌های آن نیز مورد توجه قرار گرفته‌اند. به‌طوری‌که این مطالعات نشان داده است که ۶۰ درصد مساحت ایران روند منفی (افزایش خشکسالی) و کمتر از ۴ درصد مساحت روند مثبت (ترسالی) دارد (کشاورز و همکاران، ۱۳۹۱). اوج دوره‌های ترسالی در دهه ۱۹۹۰، در حالی‌که اوج دوره خشکسالی در دهه ۲۰۰۰ بوده است (حسینی و همکاران، ۲۰۲۰). در مقابل مطالعات ترسالی نشان داده که زمان وقوع ترسالی در ایران طی ماههای سرد سال رخ می‌دهد (طلابی‌نژاد و همکاران، ۱۳۹۸) که شدت وقوع آن در حال کاهش و در مقابل شدت وقوع خشکسالی‌ها در حال افزایش است (دانشمند و محمودی، ۲۰۱۷). به‌طورکلی، اکثر مطالعات به سمت خشکسالی سوق یافته و مطالعات ترسالی بیشتر به صورت تحلیل همدیدی بارش شدید و رخداد سیل بوده و جنبه کمی و فضایی، شدت، محل وقوع و گستره کمتر مورد توجه قرار گرفته است. علاوه بر موارد اشاره‌شده، رابطه بین تغییرپذیری مساحت- شدت ترسالی - خشکسالی‌ها و روند تغییرات آن در ایران نتایج روشنی وجود ندارد.

با توجه به قرارگیری کشور ایران در کمرنگ خشک کره زمین و همچنین تغییرپذیری بالای بارش سالانه، بخش وسیعی از کشور با خشکی و کمبود آب یا سیل و آب گرفتگی مواجه می‌باشد. نوسانات شدید بارش در سال‌های اخیر سبب افزایش وقوع ناهنجاری‌های بسیاری از جمله سیل و خشکسالی و چالش‌های ناشی از آن در ایران شده است.

بنابراین، لزوم مطالعه و بررسی در زمینه این مخاطره بسیار ضروری و غیرقابل چشم پوشی است و نیاز آن در مدیریت منابع آبی و دیگر بخش‌های متأثر از آن دیده می‌شود. بنابراین، این پژوهش سعی دارد تا به این سوال‌ها که: الف) تغییرپذیری مساحت شدتهای ترسالی- خشکسالی چگونه بوده؟ و ب) آیا شدتهای ترسالی- خشکسالی و گستره آنها در ایران دارای روند مشخصی است؟ پاسخ دهد.

داده‌ها و روش‌ها

محدوده مورد مطالعه

ایران به لحاظ شرایط خاص جغرافیایی و قرار گرفتن بخش اعظم آن در ساختار شکننده کمریند بیابانی، بیشتر دارای آب‌وهوای خشک و نیمه‌خشک می‌باشد (اسماعیلی و همکاران، ۱۳۹۷). با این حال، آب‌وهوای ایران از خشکی بیش-از‌حد در قسمت‌های مرکزی تا مرطوب در امتداد سواحل خزر در شمال مشخص می‌شود (رحیمی و همکاران، ۱۳۹۲). این امر بیشتر به‌دلیل وجود رشته‌کوه‌های البرز در شمال کشور، زاگرس در غرب و دشت‌های گسترده در سراسر میانه فلات ایران (گنجی، ۱۹۶۸) است (شکل الف). در ایران بیشترین میزان بارش سالانه را مناطق سواحل شمالی و رشته‌کوه‌های زاگرس و البرز و همچنین مناطق مرکزی ایران نیز کمترین میانگین بارش را دریافت می‌کنند (حجازی زاده و همکاران، ۱۳۹۵). بارش‌های سالانه ایران اندک می‌باشد و همین بارش اندک دارای تغییرپذیری بالای زمانی- مکانی بوده و رخدادهای شدید و کوتاه مدت نیز فراوانی قابل توجهی دارند. این شرایط باعث رخداد مخاطره‌های خشکسالی، بارش شدید و سیل به‌طور مکرر در ایران می‌گردد که شناخت جنبه‌های مختلف آن لازم و ضروری است.

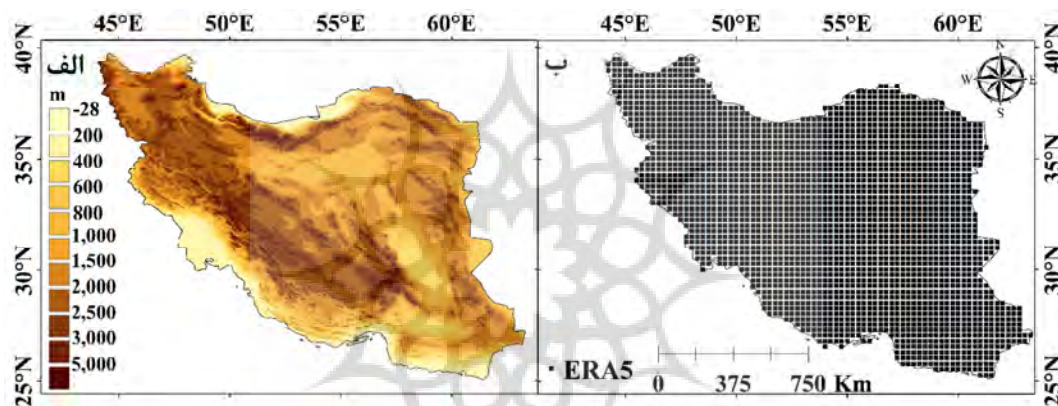
داده‌ها

با توجه به محدودیت پژوهش فضایی و دوره برداشت داده در ایستگاه‌های اندازه‌گیری بارش که برآورد میزان انحراف از متوسط برای مناطق مابین آن‌ها در بسیاری از مطالعات مورد نیاز است، استفاده از آن داده‌ها به‌ رغم دقت بالاتر آن در اندازه‌گیری نسبت به داده‌های دیگر، دچار چالش می‌کند. روش‌های مختلف درون‌یابی برای برآورد توزیع مکانی با در دست داشتن داده‌های ایستگاهی وجود دارد. با وجود اینکه درون‌یابی مکانی مقادیر شاخص‌های خشکسالی، اطلاعات ارزشمندی را در شرایط فعلی ترسالی- خشکسالی در اختیار قرار می‌دهد، اما چون این روش‌های براساس میانگین داده‌ها عمل می‌کنند، مقادیر حداکثر را کمتر و مقادیر حداقل را بیشتر از مقدار واقعی برآورد می‌کنند (متکان و همکاران، ۱۳۹۳). بنابراین، استفاده از درون‌یابی در مواردی که هدف بررسی تغییرپذیری یک پدیده است، مناسب نیست. با این حال عدم قطعیت زیادی ممکن است وجود داشته باشد، چون عوامل زیادی بر فرآیند درون‌یابی تأثیر می‌گذارد (پاتیل^۱، ۲۰۱۳)، بنابراین با توجه به محدودیت پژوهش ایستگاه‌های زمینی و عدم هم‌خوانی دوره‌های آماری در سطح جهان به‌ویژه در کشورهای درحال توسعه، استفاده از داده‌های ماهواره‌ای و مهم‌تر از آن داده‌های شبکه‌بندی بازکاوی شده مورد استقبال قرار گرفته است. در تولید این داده‌ها از منابع داده‌ای متنوع ایستگاهی و ماهواره‌ای در بستر مدل‌های پیش‌بینی عددی استفاده می‌گردد. ERA5 آخرین نسل از تجزیه و تحلیل جهانی ECMWF از سال ۱۹۷۹ تا کنون است که توسط ECMWF تولید شده (هرسپاخ و دی^۲، ۲۰۱۶) و در دسترس قرار

۱ -Patil

۲ - Hersbach and Dee

گرفته است. مطالعات مختلفی با بررسی دقت این داده‌ها بهخصوص بارش، آن را مناسب و استفاده از آن را توصیه نموده‌اند (وانگ و همکاران^۱، ۲۰۱۹؛ راخماتووا و همکاران^۲، ۲۰۲۱). این داده‌ها با وضوح مکانی و زمانی بالا در یک شبکه ۰/۲۵×۰/۲۵ درجه با فواصل ماهانه و ساعتی در دسترس است. با توجه به اینکه هدف پژوهش بررسی تغییرپذیری مساحت- شدت ترسالی- خشکسالی است و نیاز به داده‌های بلندمدت با پوشش فضایی مناسب می‌باشد، از داده‌های بازکاوی شده بارش ERA5 با قدرت تفکیک ۰/۲۵×۰/۲۵ طی بازه زمانی ۱۹۷۹ تا ۲۰۲۱ در مقیاس‌های زمانی ماهانه برای ایران استفاده شده است (شکل ب۱). برای دستیابی به پاسخ پرسش‌های پژوهش در گام نخست سری زمانی سالانه، فصلی و ماهانه از داده‌های دریافتی ایجاد شد. به علت شروع بارش‌های ناحیه خزری از ماه سپتامبر، سری زمانی سالانه از سپتامبر تا اوت سال بعد انتخاب گردید.



شکل ۱: منطقه مورد مطالعه، الف: نمای ناهمواری‌های ایران و ب: پرآکنش فضایی داده‌های ERA5 بر روی ایران

روش‌ها

برای تعیین میزان شدت ترسالی- خشکسالی شاخص‌های متعددی وجود دارد که از یک الی چند متغیر در برآورده می‌زان شدت رخداد استفاده می‌کنند. یک شاخص خشکسالی، تعیین روشی برای به دست آوردن یک عدد یا مقدار (یک مقدار بدون بعد) که در بیان شدت ترسالی- خشکسالی است. هر یک از شاخص‌ها بر اساس به کار گیری متغیرهای هواشناسی و روش‌های محاسباتی متفاوتی طراحی شده‌اند (هایم و ریچارد، ۲۰۰۲) که برای توصیف ویژگی‌های مختلف ترسالی و خشکسالی از جمله شدت، دامنه، فراوانی و مدت زمان (کیم و همکاران^۳، ۲۰۱۱؛ هایس و همکاران^۴، ۲۰۱۲؛ لیو و همکاران^۵، ۲۰۱۶a و ۲۰۱۶b؛ یائو و همکاران^۶، ۲۰۱۸؛ سان و همکاران^۷، ۲۰۱۹) ایجاد شده و به طور معمول انحراف متوسط را از وضعیت طبیعی محلی بر اساس توزیع تاریخی آن اندازه‌گیری می‌کنند.

۱ - Wang et al.

۲ - Rakhmatova et al.

۳ - Heim and Richard

۴ - Kim et al.

۵ - Hayes et al.

۶ - Liu et al.

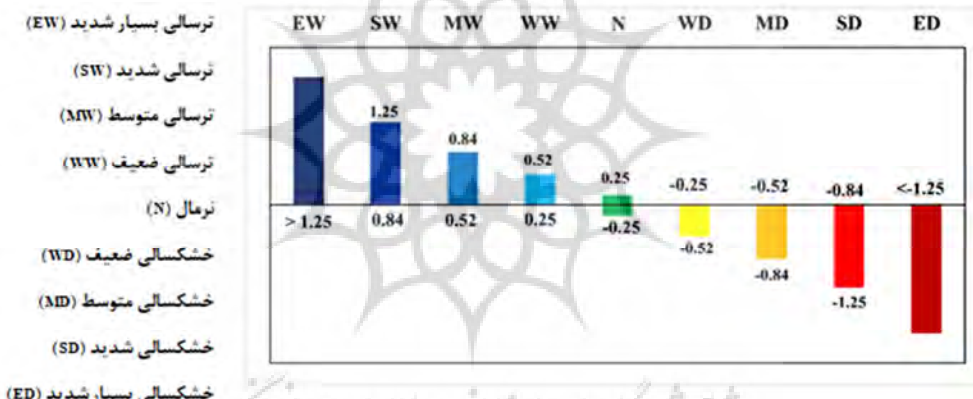
۷ - Yao et al.

۸ - Sun et al.

گرچه در حال حاضر بیشتر از شاخص‌های SPI و SPEI استفاده می‌گردد؛ ولی در استفاده از شاخص‌های خشکسالی در نواحی متنوع اقلیمی ایران نمی‌توان به شاخص واحدی دست یافت (بازگیر و همکاران، ۱۳۹۹). با توجه به هدف ZSI پژوهش، در این مطالعه، به منظور شناسایی دوره‌های ترسالی-خشکسالی از شاخص ZSI استفاده شد. شاخص Z-Score توسط Triyola^۱ (۱۹۹۵) برای پایش خشکسالی هواشناسی ارائه شده است (رابطه ۱). شاخص Z-Score که شاخصی بدون بعد است از داده‌های اصلی بارش استفاده می‌کند. شاخص Z-Score دارای پارامترهای میانگین و انحراف معیار است؛ به این معنی که میانگین شاخص Z-Score صفر و انحراف معیار آن‌ها برابر با یک است. مقادیر مثبت ترسالی و مقادیر منفی خشکسالی را نشان می‌دهد (اکویزو و همکاران^۲، ۲۰۲۰؛ امین و ملکی‌نژاد^۳، ۱۳۹۶). این شاخص نیازی به توزیع گاما یا پیرسون نوع سوم ندارد (تساکیریس و ونجلیس^۴، ۲۰۰۴؛ اختری و همکاران^۴، ۲۰۰۹).

$$ZSI = \frac{p_i - \bar{p}}{SD} \quad (1)$$

در این رابطه P آنومالی بارش، \bar{p} مقیاس زمانی، SD به ترتیب میانگین طولانی مدت و انحراف معیار داده‌های بارش در دوره آماری دلخواه است. طبقه‌بندی شاخص ZSI براساس آستانه‌ها در شکل ۲ ارائه گردیده است.



شکل ۲: طبقه‌بندی شاخص خشکسالی ZSI

سپس درصد مساحت گستره‌های ترسالی-خشکسالی با شدت‌های (بسیارشدید، شدید، متوسط، ضعیف و شرایط نرمال) محاسبه گردید (رابطه ۲).

$$PDA = \frac{\sum_{i=1}^n g_n}{n} \times 100 \quad (2)$$

PDA درصد مساحت خشکسالی، gn تعداد گریدهای تحت شدت‌های خشکسالی، ترسالی و نرمال، n تعداد همه‌ی گریدهای واقع در محدوده‌ی مورد مطالعه می‌باشد. درنهایت بهمنظور بررسی وجود روند در شدت و تغییرات گستره شدت‌های ترسالی-خشکسالی از آزمون روند من-کن达尔 بهره گرفته شد. یکی از روش‌های متداول جهت تحلیل سری‌های زمانی داده‌های هواشناسی بررسی وجود یا عدم وجود روند در آن‌ها با استفاده از آزمون‌های آماری ازجمله آزمون من-کن达尔 است (معروفی و طبری، ۱۳۹۰). هدف از این آزمون، ارزیابی آماری وجود روند صعودی یا نزولی

1 -Triola

2 -Ekwezuo et al.

3 -Tsakiris & Vangelis

4 -Akhtari et al.

متغیر مورد مطالعه در طول زمان است. یک روند صعودی (نژولی) به این معنی است که متغیر به طور مداوم در طول زمان افزایش (کاهش) می‌باید (تک^۱، ۲۰۱۱). جزئیات این آزمون در بسیاری از مطالعات روندیابی بیان شده (مالیک و همکاران^۲، ۲۰۲۱؛ لین و همکاران، ۲۰۲۰؛ ماهاجان^۳ و همکاران^۴، ۲۰۱۵) که در این پژوهش به آن پرداخته نمی-شود. در این آزمون ارزش Z صفر عدم وجود روند، ارزش Z مثبت روند رو به بالا و ارزش Z منفی روند رو به پایین را نشان می‌دهد. مقدار بحرانی مطلق Z برای سطح معنی‌داری ۰/۰۱ و ۰/۰۵ به ترتیب ۱/۶۴، ۲/۵۷۶ و ۱/۹۶ است که وضعیت معنی‌داری روندها را بیان می‌کند.

نتایج و بحث

تغییرپذیری درصد مساحت شدتهای ترسالی-خشکسالی

در شکل ۳، تغییرپذیری گسترهای شدتهای ترسالی-خشکسالی سالانه ارائه شده است. اگرچه در ۴ سال ابتدایی دهه ۸۰ و سه سال آبی ۱۹۸۶-۱۹۸۵، ۱۹۸۷-۱۹۸۸ و ۱۹۸۶-۱۹۸۷ بیشتر مساحت ایران تحت شرایط ترسالی و شرایط نرمال بوده است، اما در سال‌های آبی ۱۹۸۳-۸۴ و ۱۹۸۴-۸۵ و ۱۹۸۸-۸۹ گستره رخداد خشکسالی بیش از ۷۰ درصد کشور را دربرگرفته است. در این سال‌ها، خشکسالی‌های شدید (SD) و متوسط (MD) نسبت به دیگر شدتهای گستردگرتر دیده می‌شود. در دهه ۹۰ در سال‌های آبی ۱۹۹۱-۹۲، ۱۹۹۲-۹۳، ۱۹۹۴-۹۵، ۱۹۹۵-۹۶ و ۱۹۹۷-۹۸ گسترهای ترسالی نمایان‌تر بوده و پهنه‌های وسیع خشکسالی در این دهه به دو سال آبی ۱۹۹۳-۹۴ و ۱۹۹۷-۹۶ محدود بوده است. گرچه ترسالی سال‌های آبی ۱۹-۲۰ و ۲۰-۱۸-۱۹ گستردگرتر بوده و ۹۰ درصد از کشور را در برگرفته، اما در سال آبی ۱۹۹۵-۹۶ بیشتر مساحت کشور تحت ترسالی بسیارشده (EW) بوده است. ترسالی‌های متوسط (MW)، شدید (SW) و بسیارشده در سال‌های آبی ۱۹۹۱-۹۲ و ۱۹۹۸-۹۹ نسبت به دیگر سال‌ها در این دهه داشته‌اند. در انتهای این دهه و شروع قرن ۲۱، خشکسالی‌های فراگیر و نیمه‌فراگیر دیده می‌شود که شدیدترین و فراگیرترین آن در سال آبی ۲۰۰۰-۱۹۹۹ در بیش از ۹۷ درصد مساحت کشور رخداده است. نکته بارز خشکسالی رخداده در این سال این است که پهنه خشکسالی بسیارشده (ED) ۷۰ درصد کشور را در برگرفته و از این حیث بسیار قابل توجه است. در دهه اول قرن حدید در سال ۲۰۰۸-۲۰۰۷ و ۲۰۰۷-۲۰۰۶ در حدود ۲۰۰۱-۲۰۰۰ و ۲۰۰۵-۲۰۰۴ به ترتیب ۸۰ و ۷۰ درصد از مساحت کشور تحت شرایط خشکسالی بوده است. در سال آبی ۲۰۰۷-۲۰۰۸ همانند سال آبی ۱۹۹۹-۲۰۰۰ گستره خشکسالی بسیارشده وسیع بوده و حدود ۶۱ درصد از کشور را پوشانده است. اما در دو سال ۲۰۰۱-۲۰۰۰ و ۲۰۰۵-۲۰۰۶ پهنه خشکسالی شدید، گستردگر بوده است. در دهه دوم قرن اخیر، سال آبی ۲۰۱۸-۲۰۱۹، ترسالی فراگیر در ۹۰ درصد از مساحت کشور که پهنه ترسالی-خشکسالی بسیارشده آن^۴ ۴۷ درصد از کشور را در برگرفته و پهنه‌های متوسط و بسیارشده آن نیز قابل-توجه بوده، رخداده است. در این دهه خشکسالی تقریباً فراگیر در سال‌های آبی ۲۰۱۰-۲۰۱۱ و ۲۰۱۷-۲۰۱۸ و

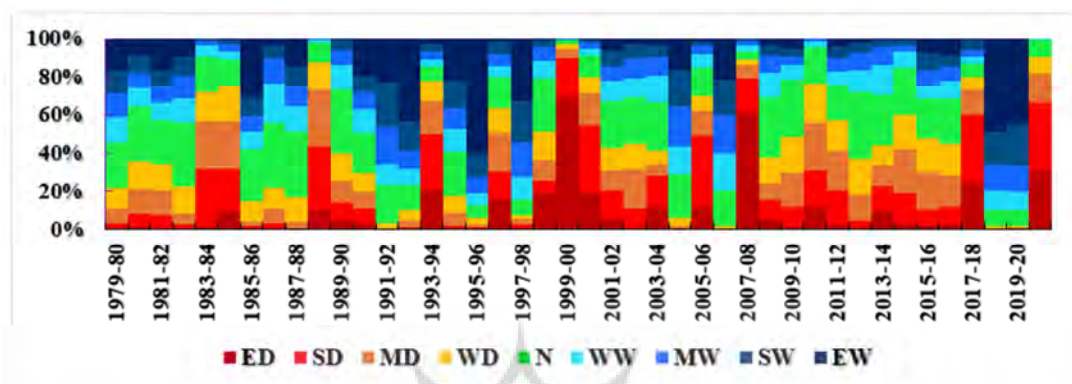
¹ -Tech

² -Mallick et al.

³ Lin et al.

⁴ Mahajan et al.

فراگیر در ۲۰۲۱-۲۰۲۰ رخداده که در دو سال آخر بیش از ۶۵ درصد از مساحت کشور درگیر خشکسالی شدید و بسیارشده بوده است (شکل ۳).



شکل ۳: درصد مساحت شدتهای ترسالی-خشکسالی سالانه بر روی ایران (طبقه‌های شدت شاخص براساس شکل ۲: خشکسالی‌های بسیارشده (ED)، شدید (SD)، متوسط (MD)، ضعیف (WD)، نرمال (N) و ترسالی‌های بسیارشده (EW)، شدید (SW)، متوسط (MW)، ضعیف (WW) می‌باشد).

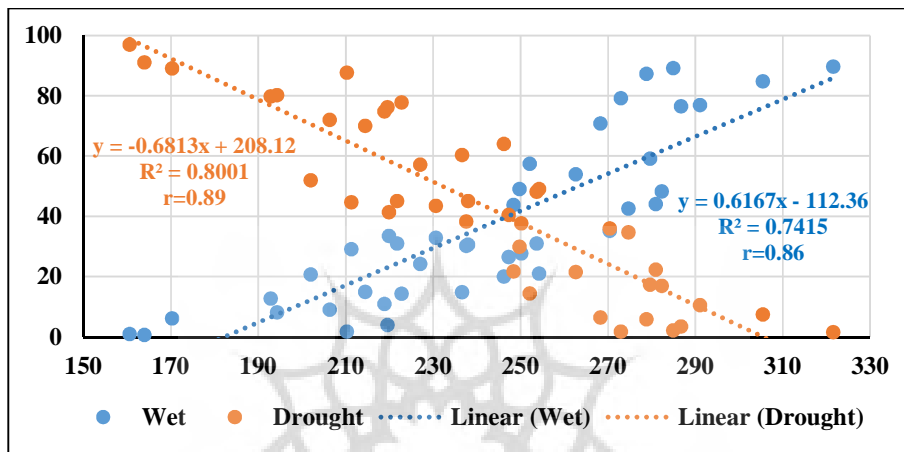
همچنین نتایج نشان می‌دهد که دوره‌های ترسالی در ایران استمرار نداشته و به صورت یک و دو ساله رخ داده است. می‌توان گفت که گستره‌های شرایط نرمال در ابتدای و انتهای دوره نمایان‌تر می‌باشند. مساحت خشکسالی‌های بسیارشده و شدید به طور محسوس بیش از گستره‌ی ترسالی‌های شدید و بسیارشده در سال‌ها رخداد است. در سال‌های مختلف مساحت شدتهای خشکسالی‌های متوسط تا شدید فراوان نرده می‌شوند، اما در ترسالی‌ها پهنه‌های بسیارشده مشهودتر بوده است. نکته دیگر اینکه در ۹ سال از سال آبی ۲۰۰۹-۲۰۰۸ تا ۲۰۱۷-۲۰۱۶ که با خشکسالی بسیارشده و فراگیر ۲۰۰۷-۲۰۰۸ شروع و با خشکسالی فراگیر و شدید ۲۰۱۷-۲۰۱۸ پایان می‌یابد، تقریباً نیمی از کشور شرایط خشکسالی که بیشتر متوسط بوده است را تجربه کرده‌اند (شکل ۳).

فراوانی درصد مساحت ترسالی، نرمال و خشکسالی نشان می‌دهد که شرایط نرمال بارشی در کشور بهندرت و در پهنه‌های غیرفراگیر رخ می‌دهد (جدول ۱). وجود گستره‌های نرمال در زیر ۵۰ درصد مساحت کشور آن هم با فراوانی تقریباً یک سوم مساحت‌های زیر ۲۵ درصد بهمراه وجود گستره‌های بیش از ۵۰ درصد و بیش از دو سوم مساحت کشور در شرایط ترسالی و فراوانی بیشتر خشکسالی، نمایان‌گر رژیم بارشی حدی در ایران بین دو شرایط بی‌هنجری مثبت (ترسالی) و منفی (خشکسالی) است.

جدول ۱: فراوانی طبقات گستره‌های ترسالی-خشکسالی سالانه کشور در دوره ۴۲ ساله مطالعاتی

<۲۵٪	۲۵٪-۵۰٪	۵۰٪-۷۵٪	>۷۵٪	
۱۶	۱۵	۴	۷	ترسالی
۳۰	۱۲	۰	۰	نرمال
۱۴	۱۳	۷	۸	خشکسالی

تغییرپذیری بارش سالانه رابطه بالایی با تغییرات گسترهای ترسالی (مستقیم) و خشکسالی (معکوس) نشان می‌دهد (شکل ۴). این رابطه می‌تواند تأییدی بر گفته بالا باشد و رابطه بالاتر (نزدیک به ۰/۹) با گسترهای خشکسالی نیز نمایان‌گر اقلیم بارشی ایران که رخدادهای بی‌هنگار، البته بی‌هنگار منفی (خشکسالی) با فراوانی بیشتر از مشخصه بارز آن است.



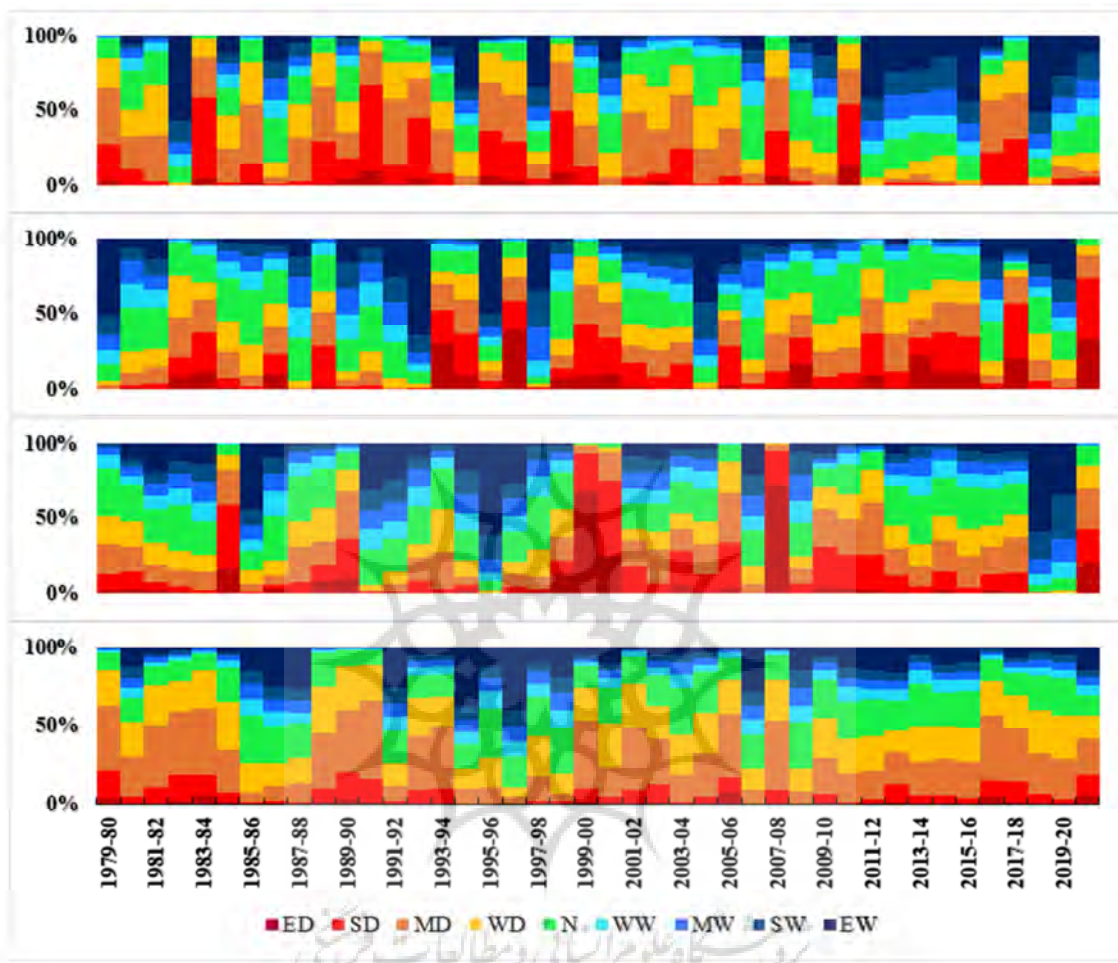
شکل ۴: رابطه بین درصد مساحت (آبی) ترسالی و (قفرم) خشکسالی (محور عمودی) با میانگین بارش (محور افقی به mm) ایران

پهنه‌های شدت ترسالی و خشکسالی‌های فصلی در شکل ۶ آمده است. در فصل پاییز در ۲۲ سال از سه دهه اول دوره مطالعه پهنه‌های خشکسالی بیش از ۵۰ درصد از ایران را پوشانده‌اند. علاوه بر آن در ۶ سال دیگر نیز بین ۳۰ تا ۵۰ درصد کشور تحت تأثیر خشکسالی بوده که یک دوره خشک متوالی را باعث شده‌اند. در این بین تنها ۳ سال ۸۳-۸۲، ۱۹۸۲-۹۵ و ۱۹۹۷-۹۸ بیشتر کشور متاثر از ترسالی و به طور محسوس ترسالی بسیارشده بوده است. در دهه چهارم برخلاف سه دهه اول ایران، بیشتر (۸ سال) تحت پوشش ترسالی بوده که بعد از ترسالی‌های بسیارشده بیش از ۴۰ درصد از مساحت کشور را پوشانده بوده است. در این فصل پهنه‌های خشکسالی متواتر و شدید بیش از دیگر پهنه‌ها خودنمایی می‌کند و خشکسالی بسیارشده در انتهای دوره در سال ۲۰۱۰-۱۱ حدود ۱۴ درصد از مساحت کشور را درگیر نموده است. سال‌های آبی ۱۹۸۳-۸۴ و ۱۹۹۰-۹۱ به ترتیب ۹۸ و ۹۷ درصد از مساحت کشور فراغیرترین خشکسالی این فصل را تجربه نموده‌اند (شکل ۵). در فصل زمستان دو دوره متواتی رخداد خشکسالی دیده می‌شود؛ اولی از سال ۱۹۹۸-۹۹ تا ۲۰۰۳-۰۴ و دومی از سال ۲۰۰۷-۰۸ تا ۲۰۱۵-۱۶ قابل مشاهده است. در این فصل خشکسالی فراغیر و پهنه‌های شدید و بسیارشده خیلی بیشتر دیده می‌شوند. برخلاف فصل پاییز دوره متواتی که پهنه‌های ترسالی به طور مشهود در اوایل دوره مطالعاتی از سال آبی ۱۹۸۹-۹۰ الی ۱۹۹۲-۹۳ قابل رویت هستند. با اینکه گسترهای شرایط نرمال و ترسالی بسیارشده مساحت قابل توجهی در این سال‌های داشته‌اند، اما ترسالی ضعیف (WW) نیز با مساحتی بین ۵ تا ۱۱ درصد درخور توجه می‌باشد. فراغیرترین ترسالی این فصل در سال‌های ۱۹۷۹-۸۰، ۱۹۹۲-۹۳، ۱۹۹۷-۹۸، ۱۹۹۹-۰۰ و ۲۰۰۴-۰۵ رخ داده است. در این سه سال بیش از ۸۰ درصد از ایران تحت تأثیر ترسالی بوده که پهنه‌های با شدت ترسالی بالا در دو سال میانی بیشتر بوده‌اند. در مقابل در سال‌های ۹۷-۹۶، ۲۰۰۰-۰۱ و ۲۰۰۲-۰۳ فصل زمستان با خشکسالی فراغیر بیش از ۸۷ درصد روبرو بوده است. در دو سال

ابتداً و انتهای خشکسالی بسیارشده با ۴۰ و ۳۲ درصد و در سال ۲۰۰۰-۱۹۹۹ گستره خشکسالی شدید با ۳۵ درصد پهنه‌ها وسیعی از کشور را متأثر کرده بودند (شکل ۵). پهنه‌های خشکسالی بسیارشده در سال‌های انتهایی این فصل به طور محسوس بیشتر دیده می‌شوند. مساحتی بین ۴۰ تا ۷۵ درصد از کشور را در این سال‌ها متأثر از این شدت خشکسالی بوده است.

فصل بهار همانند فصل زمستان دارای پهنه‌های خشکسالی بسیارشده با درصد بالا می‌باشد. در دو سال ۲۰۰۷-۱۹۹۹ و ۲۰۰۰-۱۹۹۹ این شدت از خشکسالی ۹۹ درصد از مساحت ایران را پوشانده است که بالاترین درصد مساحت این شدت در همه دوره مطالعاتی می‌باشد. اما تعداد رخداد خشکسالی‌های فراگیر در این فصل نسبت به دو فصل قبل کمتر بوده است. با این حال، فراگیرین خشکسالی‌ها به ترتیب با ۹۷/۷۱، ۹۹/۱۵، ۹۹/۸ و ۹۲/۷ درصد از مساحت کشور نیز در این فصل در سال‌های ۲۰۰۷-۰۸، ۲۰۰۰-۱۹۹۹، ۱۹۹۹-۰۰ و ۱۹۸۴-۸۵ دیده می‌شود. همچنین شدیدترین و فراگیرترین ترسالی‌ها نیز در این فصل دیده می‌شود. در سال‌های ۲۰۱۸-۱۹، ۲۰۱۸-۲۰ و ۱۹۹۵-۹۶ و ۲۰۱۹-۲۰ ترسالی به ترتیب ۹۴، ۹۰ و ۹۱ درصد از ایران را دربرگرفته است. در فصل تابستان که دوره خشک غالب مساحت کشور می‌باشد و بارش‌ها محدود به مناطق خاص و در دیگر مناطق اتفاقی می‌باشد، صحبت از ترسالی و بهخصوص خشکسالی شاید منطقی نباشد. به هر حال در این فصل پهنه‌های شدت خشکسالی ضعیف (WD) و متوسط با درصد بالاتری در بسیاری از سال‌ها دیده شده و ترسالی‌هایی نیز جدا از دوره ۱۹۹۴-۹۵ الی ۱۹۹۸-۹۹ به صورت مجزا قابل مشاهده‌اند (شکل ۵). می‌توان گفت شدت خشکسالی‌ها در فصل زمستان و بهار که دوره غالب بارشی در ایران است، بیشتر از دو فصل دیگر می‌باشد و مساحت بیشتری از کشور درگیر خشکسالی‌های شدید و بسیارشده بوده است. نکته دیگر اینکه تقریباً رخداد ترسالی و خشکسالی‌ها و پهنه‌های درگیر در شدت‌های مختلف با فصل پاییز معکوس می‌باشد. در بیشتر سال‌هایی که در فصل پاییز خشکسالی ظاهر شده، در این فصل ترسالی دیده می‌شود. این شرایط به ویژه در انتهای دوره مطالعاتی مشهودتر است (شکل ۵).

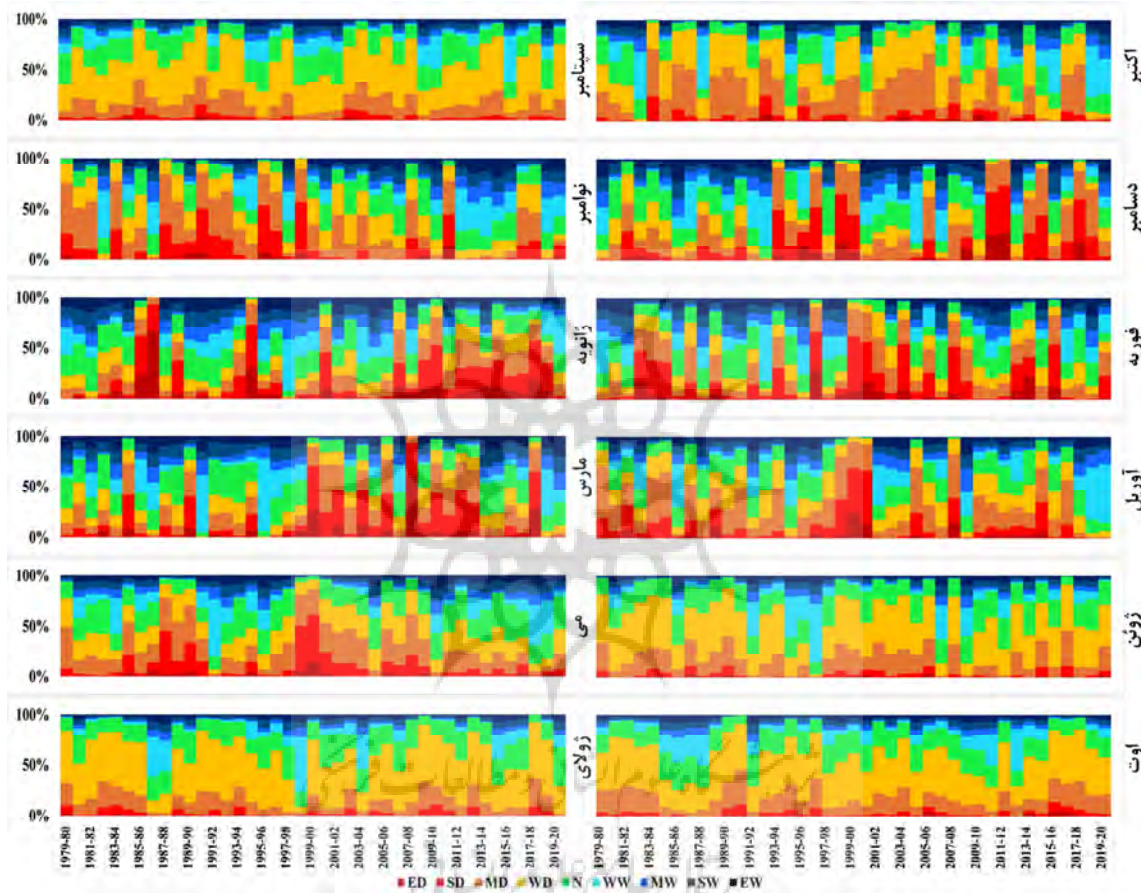
پرستال جامع علوم انسانی



شکل ۵: درصد مساحت شدت‌های ترسالی-خشکسالی فصلی بر روی ایران (از بالا به پایین پاییز، زمستان، بهار و تابستان)

با مشاهده سری زمانی مساحت شدت‌های ترسالی-خشکسالی در مقیاس ماهانه، تقریباً ۳ الگو قابل تفکیک است (شکل ۶). ماههای زوئن، ژولای، اوت و سپتامبر که در آن خشکسالی ضعیف گستره غالب در اکثر سال‌ها بوده است. در دو ماه زوئن و ژولای ترسالی‌های نادر و فراغیر تا نسبتاً فراگیری نیز رخ داده، اما در ماه اوت و بهخصوص سپتامبر ترسالی‌ها حداقل نیمی از کشور را پوشش داده‌اند (شکل ۶). در دو ماه اکتبر و می پهنه‌های خشکسالی متوسط و شدید بهویژه در ماه می نسبت به ماههای دوره گرم افزایش محسوسی داشته است. گسترهای خشکسالی متوسط در ماه اکتبر در چند مقطع زمانی از میانه دهه ۸۰ میلادی تا پایان دهه اول قرن ۲۱ به شکل دوره‌های چندساله تکرار شده‌اند. همین شرایط در ماه می نیز قابل رؤیت است با این تفاوت که در این ماه پهنه‌های خشکسالی شدید نیز به صورت واضح در چند سال اول قرن ۲۱ دیده می‌شود (شکل ۶). پهنه‌های ترسالی در ماه می به صورت دوره‌های چندساله نیز قابل مشاهده است؛ ولی در ماه اکتبر بیشتر ترسالی‌ها در سال‌های مجزا دیده می‌شود. در ماههای دیگر سال از نوامبر الی آوریل پهنه‌های شدت مختلف خشکسالی بهخصوص خشکسالی شدید زیاد دیده می‌شود. در این ۶ ماه که دوره اصلی بارشی ایران می‌باشد، مشاهده پی‌درپی درصد بالای گستره خشکسالی جلب توجه می‌کند. در

همین ماهها بهویشه ماههای زانویه و مارس بالاترین درصد مساحت‌های خشکسالی بسیارشدید دیده می‌شود. با این حال چند اختلاف در درصد پهنه‌های ترسالی-خشکسالی نیز قابل رؤیت است. در ماههای دسامبر و زانویه در سال‌های انتهای دوره با افزایش مساحت‌های تحت خشکسالی روبرو هستند. درحالی‌که در ماه نوامبر، مارس و آوریل این شرایط بر عکس بوده و گستره ترسالی در کشور غالب بوده است (شکل ۶).



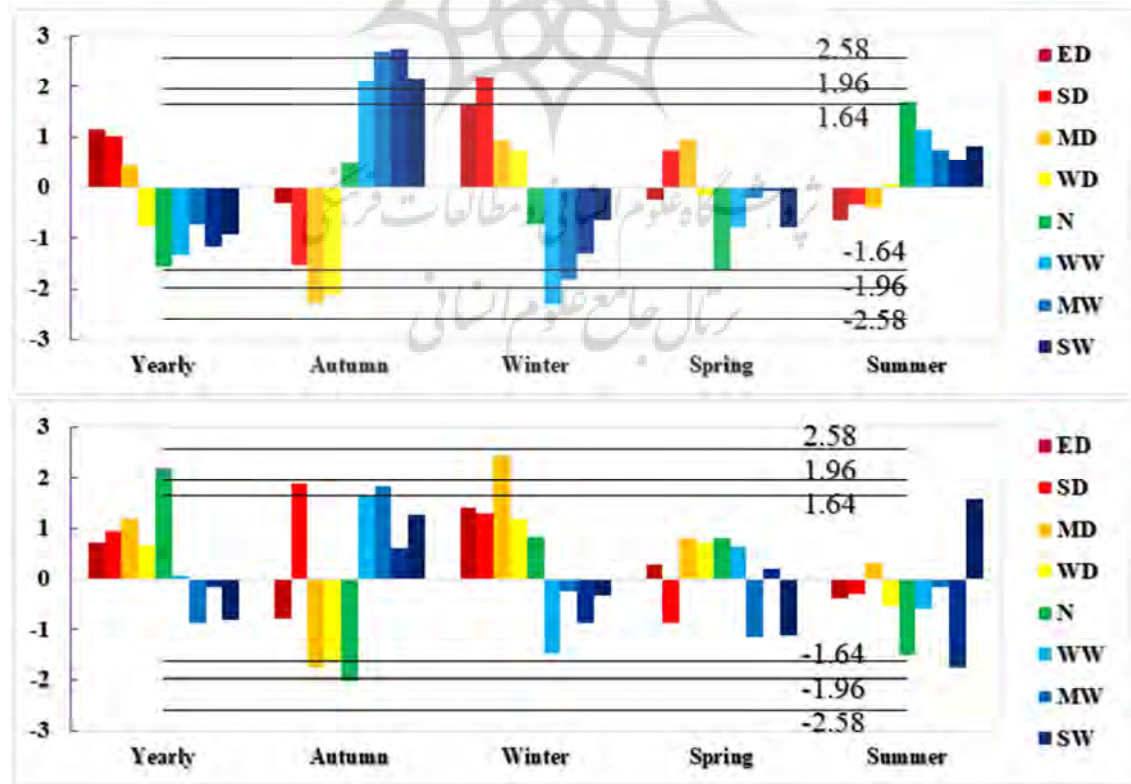
شکل ۶: درصد مساحت شدت‌های ترسالی-خشکسالی ماهانه بر روی ایران

روند تغییرات مساحت-شدت ترسالی-خشکسالی

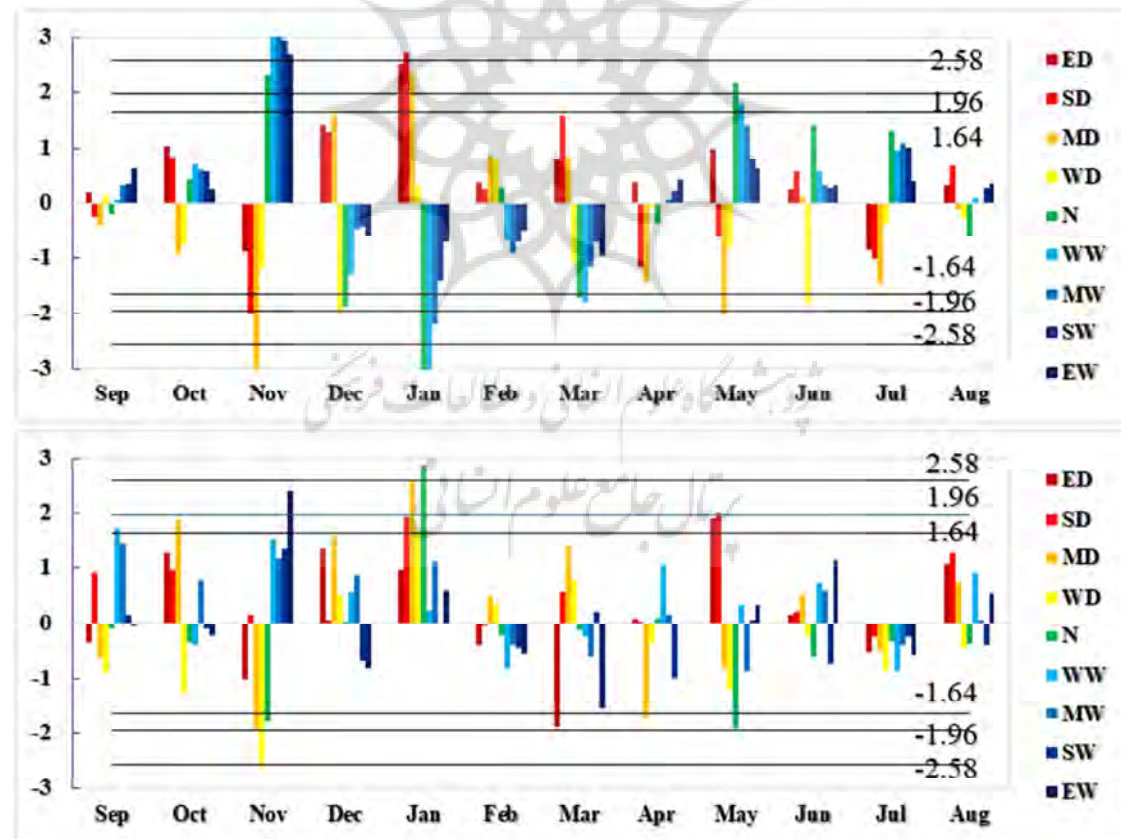
همان‌طور که در بررسی سری‌های زمانی و تغییرپذیری مساحت شدت‌های ترسالی-خشکسالی دیده شد، پهنه‌های شدت ترسالی-خشکسالی در سری‌های مختلف تغییرپذیری گاه بالایی از خود نشان داده و یا افزایش و کاهشی در مساحت آنها دیده می‌شود. در این بخش برای جواب به سوال دوم پژوهش در خصوص چگونگی روند تغییرات شدت و پهنه‌های شدت ترسالی-خشکسالی نتایج آزمون منکندا که بر روی داده‌های سری زمانی شدت و مساحت‌های ترسالی-خشکسالی در سه مقیاس زمانی سالانه، فصلی و ماهانه انجام پذیرفته، ارائه می‌شود. در مقیاس سالانه، روند تغییرات مساحت‌های خشکسالی بسیارشدید، شدید، متوسط، ترسالی ضعیف، پهنه‌های نرمال و خشکسالی ضعیف در ایران در حال کاهش و پهنه‌های خشکسالی متوسط، شدید و بسیارشدید در حال افزایش است. اگرچه هیچ کدام از

این تغییرات دارای روندی معنی‌دار نبوده‌اند؛ ولی افزایش مساحت‌های خشکسالی بسیارشده و شدید در مقابل کاهش مساحت ترسالی‌های و پهنه‌های نرمال نگران کننده است. همچنین شدت شاخص منفی (تمام شدت‌های خشکسالی) گرچه معنی‌دار نیست، ولی افزایشی و در مقابل شاخص مثبت (ترسالی) کاهشی بوده است. در مقیاس فصلی، در فصل پاییز روند معنی‌دار در تغییرات کاهشی مساحت خشکسالی شدید، متوسط، ضعیف و پهنه نرمال و در مقابل افزایشی مساحت ترسالی‌های بسیارشده، شدید، متوسط و ضعیف دیده می‌شود (شکل ۷). این شرایط در زمستان تقریباً بر عکس بوده، به‌طوری‌که روند تغییرات مساحت همه شدت‌های خشکسالی افزایشی و در مقابل گسترهای شرایط نرمال، و تمامی شدت‌های ترسالی به‌ویژه ترسالی‌های ضعیف و متوسط کاهشی بوده است. روند تغییرات پهنه‌های ترسالی و خشکسالی در فصل بهار پرتوسان است، ولی افزایش مساحت خشکسالی‌های شدید و متوسط در مقابل کاهش گسترهای ترسالی بسیارشده، ضعیف و به‌خصوص شرایط نرمال مشخص‌تر است. در فصل تابستان روند پهنه‌های ترسالی بسیارشده، شدید، متوسط، ضعیف و گسترهای نرمال و خشکسالی ضعیف در حال افزایش و از سویی دیگر پهنه‌های خشکسالی بسیارشده، شدید و متوسط در حال کاهش می‌باشند (شکل ۷).

علاوه بر آن شدت شاخص نیز به‌خصوص در دو فصل پاییز و زمستان تغییر معنی‌داری داشته است. در فصل پاییز و به‌ویژه ماه نوامبر، میزان شاخص مثبت (در تمام طبقات ترسالی) افزایش و در آن سو شاخص منفی (خشکسالی‌های ضعیف، متوسط و شدید) کاهش یافته‌اند. در مقابل در فصل زمستان گرچه شدت شاخص منفی (مثبت) افزایش (کاهش) نشان داده، ولی فقط افزایش شدت خشکسالی متوسط معنی‌دار بوده است (شکل ۷).



شکل ۷: (بالا) روند تغییرات گستره‌ی شدت و (پایین) روند شدت‌های ترسالی-خشکسالی سالانه و فصلی بر روی ایران (۱۹۷۹-۲۰۲۰) روند تغییرات پهنه‌های ترسالی - خشکسالی ماهانه در شکل ۸ آمده است. در این شکل روند تغییرات معنی‌دار افزایشی مساحت شدت‌های مختلف ترسالی و شرایط نرمال در ماه نوامبر و کاهش مساحت‌های شدت خشکسالی که در شدت‌های متوسط و شدید که به ترتیب در سطح اطمینان ۹۹ و ۹۵ درصد معنی‌دار هستند، قابل توجه‌تر می‌باشد. این شرایط با میزان تغییرات کمتر در ماه‌های زوئن، زولای، آوریل و می نیز دیده می‌شود. در این ماه‌ها فقط افزایش پهنه‌های نرمال در دو ماه می و زوئن و کاهش مساحت‌های خشکسالی شدید و متوسط در ماه آوریل، خشکسالی متوسط در ماه می و ضعیف در ماه زوئن معنی‌دار بوده است. در نقطه مقابله در ماه‌های دسامبر، ژانویه، فوریه و مارس روند تغییرات پهنه‌ها معکوس بوده است. در این ماه‌ها به خصوص ماه ژانویه، مارس و دسامبر پهنه‌های ترسالی روند کاهشی محسوسی داشته‌اند که کاهش پهنه‌های ترسالی متوسط در ژانویه و پهنه‌های ترسالی ضعیف در هر دو ماه مارس و آوریل و گستره نرمال در هر سه ماه معنی‌دار بوده است. به‌طور کلی در شروع و انتهای دوره بارشی سالانه در ماه‌های سپتامبر الی نوامبر و آوریل الی اوت، پهنه‌های ترسالی تغییرات افزایشی داشته، ولی در دوره سرد سال و بارشی ایران تغییرات کاهشی پهنه‌های ترسالی و افزایش گستره‌های خشکسالی بارزتر بوده است (شکل ۸).



شکل ۸: (بالا) روند تغییرات گستره‌ی شدت و (پایین) روند شدت‌های ترسالی-خشکسالی ماهانه بر روی ایران (۱۹۷۹-۲۰۲۰)

تغییرات شدت شاخص در طبقه‌های ترسالی - خشکسالی نیز در بعضی از ماهها معنی‌دار بوده است. در ماه نوامبر که گسترهای ترسالی (خشکسالی) افزایشی (کاهشی) بود، شدت شاخص مثبت (منفی) بهویژه ترسالی بسیارشدید (خشکسالی ضعیف و متوسط) نیز افزایشی (کاهشی) بوده است. در ماههای زانویه و مارس که روند گسترهای بر عکس نوامبر بود، شدت شاخص تغییرات همسو با گسترهای ندارد. در ماه زانویه مقادیر شاخص بهخصوص در خشکسالی‌های ضعیف تا شدید و شرایط نرمال افزایش معنی‌داری داشته است؛ اما در ماه مارس، مقدار شاخص در طبقه ترسالی و خشکسالی بسیارشدید کاهشی بوده است. همچنین در ماه می از فصل بهار، مساحت شدت‌های ترسالی - خشکسالی تغییرات معنی‌دار و شدت‌های شاخص نیز در طبقه‌های خشکسالی شدید و بسیارشدید در این ماه افزایش معنی‌داری نشان داده‌اند (شکل ۸).

با توجه به نتایج می‌توان گفت که شدت ترسالی بسیارشدید به مراتب بیشتر از پهنه‌های دیگر ترسالی بوده و با تداوم یک و دو ساله رخ داده است. در مقابل گسترهای خشکسالی‌ها با توالی چند ساله با دو دوره مشخص: ۱. دوره ۶ ساله از سال ۱۹۹۸-۹۹ الی ۲۰۰۴-۰۳ که سه سال ابتدایی دوره، خشکسالی بسیارشدید پیوسته بوده، ۲. دوره ۱۱ ساله از سال ۲۰۰۷-۰۸ تا ۲۰۱۷-۱۸ که در ابتدا و انتهای این دوره خشکسالی فراگیر بیش از ۷۰ درصد مساحت کشور را پوشانده بوده است، رخ داده است. واکاوی روند تغییرات گسترهای شدت‌های مختلف ترسالی - خشکسالی ایران حاکی از این است که تمام پهنه‌های ترسالی سالانه و همچنین نرمال، کاهشی و در مقابل پهنه‌های خشکسالی بسیارشدید، شدید و متوسط گرچه معنی‌دار نبوده، ولی روندی افزایشی نشان می‌دهد. هرچند یزدانی و همکاران (۱۳۹۰) در بررسی فراوانی خشکسالی‌های ایران با شاخص ۱۲ ماهه SPI، بیشترین مقدار مساحت کشور را در خشکسالی ضعیف سالانه دانسته‌اند؛ ولی نتایج مطالعه نشان داد که بیشترین مقدار مساحت کشور در خشکسالی شدید و ترسالی بسیارشدید بوده است. این تفاوت به علت استفاده از شاخص SPI است که با میانگین متحرک، بارش‌ها شدید و یا دوره‌های کم بارشی را تعدیل می‌کند. همچنان که رضایی و همکاران (۱۳۹۷) بیان کردند، استفاده از توابع توزیع شاخص SPI در مقیاس سالانه باعث تغییر فراوانی و در نتیجه جابه‌جایی طبقات مختلف خشکسالی می‌شود.

مطالعات چرخه‌های معنی‌دار بارش در ایران نشان داده‌اند که چرخه‌های ۳-۵ ساله، ۲-۶ ساله و گاهی ۱۱ ساله و بالاتر حاکم است (علیجانی و همکاران، ۱۳۹۵؛ دوستکامیان، ۱۴۰۰). اما نتایج این پژوهش حاکی از این است که دوره‌های غالب موجود در سری‌های زمانی ترسالی‌ها و خشکسالی‌های ایران بسیار متنوع بوده که نتایج پژوهش دانشمند و محمودی (۲۰۱۷) تأییدی بر این امر می‌باشد. اما به طور کلی برخی محققین به این نتیجه رسیده‌اند که برای دوره‌های بلندمدت خشکسالی‌ها، می‌توان در کل ایران دو دوره ۱۰ ساله و ۳۰ ساله را به عنوان دوره‌های غالب در نظر گرفت. اما در خصوص دوره‌های کوتاه‌مدت این مخاطره، نمی‌توان برای کل ایران یک دوره غالب مشخص کرد (دانشمند و محمودی، ۱۳۹۵؛ محمودی و دانشمند، ۱۳۹۷). همچنین دوره بازگشت ترسالی‌ها و خشکسالی‌های ایران در یک مقیاس منطقه‌ای می‌تواند بسیار کوتاه مدت باشد (محمودی و همکاران، ۱۳۹۹).

در مقیاس فصلی، فصل زمستان و بهار بیشترین گسترهای مشاهده شده خشکسالی‌های شدید و بسیارشدید بوده است. این در حالی است که این فصل‌ها دوره غالب بارشی در ایران می‌باشند (کریمی و فرج‌زاده، ۱۳۹۰؛ موحدی، ۱۳۹۰؛ دوستکامیان، ۱۴۰۰). اما در فصل پاییز، گستره شدت‌های ترسالی - خشکسالی بر عکس دو فصل گفته شده می‌باشد.

این شرایط بهویژه در انتهای دوره مطالعاتی مشهودتر است که می‌تواند ناشی از روند افزایشی بارش در این فصل (کریمی و همکاران، ۱۴۰۰) به علت تغییرپذیری گردش‌های جوی (لشکری و همکاران، ۱۳۹۶؛ طولابی‌نژاد و همکاران، ۱۳۹۸) و تغییر مسیر سامانه‌های بارشی کشور (خجسته، ۲۰۲۰) باشد.

گستره‌های ترسالی - خشکسالی ماهانه نیز حاکی از تمرکز بیشتر رخدادهای ترسالی در ماه نوامبر اما با تغییرپذیری بالا و در مقابل تمرکز پنهانه‌های وسیع خشکسالی‌های شدید و بسیارشده در دوره بارشی بهویژه ماه‌های ژانویه و دسامبر در طی سال‌های اخیر می‌باشد. این در حالی است که عمیق‌ترین میزان بارش ایران در طی ماه‌های دسامبر تا فوریه ریزش می‌کند (رضیئی و همکاران، ۲۰۰۹؛ هادی پور و همکاران، ۲۰۲۰) که این می‌تواند نمایان گر تمایل به افزایش دوره‌های خشک در فصل‌های زمستان و بهار بهویژه ماه دسامبر، ژانویه و مارس و همچنین تمایل به افزایش دوره‌های تر در فصل پاییز بهخصوص ماه نوامبر باشد. در مقایس ماهانه تغییرات درصد مساحت شدت‌های ترسالی - خشکسالی ایران در سال‌های اخیر نوسانات بیشتری داشته که دلیل آن می‌تواند افزایش ناهنجاری‌های بارش در نواحی مختلف ایران در سال‌های اخیر باشد (کیانیان و همکاران، ۱۳۹۵). این شرایط را می‌توان شاهدی بر تغییر رژیم بارشی ایران دانست که موحدی و همکاران (۱۳۹۰) نیز به آن اشاره داشته‌اند.

علاوه بر آن شدت شاخص نیز بهخصوص در دو فصل پاییز و زمستان تغییر معنی‌داری داشته است. در فصل پاییز و بهویژه ماه نوامبر، میزان شاخص مثبت (در تمام طبقات ترسالی) افزایش و در آن سو شاخص منفی (خشکسالی‌های ضعیف، متوسط و شدید) کاهش یافته‌اند. در مقابل در فصل زمستان گرچه شدت شاخص منفی (مثبت) افزایش (کاهش) نشان داده، ولی فقط افزایش شدت خشکسالی متوسط معنی‌دار بوده است. در این فصل در ژانویه که مساحت‌های خشکسالی افزایشی و ترسالی کاهشی بوده اما شدت شاخص افزایشی بوده و در شاخص منفی (خشکسالی ضعیف و متوسط) و شرایط نرمال معنی‌دار بوده است. در بهار و بهویژه می، برخلاف روند مساحت‌ها، شدت شاخص منفی (خشکسالی شدید و بسیارشده) افزایش معنی‌دار داشته است. در ماه مارس به عنوان پربارش‌ترین ماه کشور، اگرچه گستره‌های خشکسالی افزایش و کاهش ترسالی‌ها معنی‌دار بوده، ولی شدت شاخص در دو محدوده انتهایی (ترسالی و خشکسالی بسیارشده) کاهشی بوده است. اگرچه در بعضی از ماه‌ها از گستره مساحت خشکسالی کاسته شده، ولی شدت آنها کمی افزایش یافته است.

نتیجه‌گیری

خشکسالی‌های ایران بعد از ترسالی‌های بسیارشده یک‌الی دو ساله، در توالی‌های چندساله رخ می‌دهند که شروع و پایان دوره‌ها بیشتر همراه با خشکسالی‌های بسیارشده و فراگیر بوده است. این شرایط و رابطه بالا بین تغییرپذیری سالانه بارش و گستره‌های ترسالی خشکسالی و رابطه بیشتر با مساحت‌های خشکسالی در کشور بیانگر ویژگی اصلی اقلیم بارشی ایران، یعنی احتمال رخداد بالای بی‌هنجرهای بارشی البته با رخداد بیشتر خشکسالی می‌باشد. می‌توان گفت شرایط نرمال بارشی نادر بوده و تنها درصد کمی از مساحت کشور را پوشش می‌دهد. بنابراین، رژیم بارشی ایران در گستره‌های بزرگی از آن بین دو رخداد حدی و بی‌هنجرهای مکرر مثبت و منفی در نوسان است.

کاهش گسترهای خشکسالی و افزایش پهنه‌های ترسالی در فصل پاییز بهخصوص ماه نوامبر و در مقابل کاهش گسترهای ترسالی و افزایش پهنه‌های خشکسالی شدید و بسیارشده در زمستان و تا حدودی بهار بهویژه ماههای زانویه و مارس ناشی از تغییرات گردن جو مؤثر در بارش ایران و بی‌آمد آن می‌تواند تغییر رژیم بارشی کشور باشد. این امر به همراه بی‌هنچاری بارش زمستان و بهار می‌تواند شرایط نامناسب منابع آب بهخصوص در دوره بدون بارش، فصل گرم را در سال‌های پیش‌رو تشخیص دهد. جابه‌جایی زمانی بارش به همراه نوسان بارش ایران بین دو بی‌هنچاری مثبت و منفی، آسیب‌پذیری و ریسک در بخش‌های مختلف بهویژه منابع آب و کشاورزی را در آینده افزایش می‌دهد.

منابع

- اسماعیلی، حسین؛ روشنی، احمد؛ شکیبا، علیرضا؛ پرک، فاطمه. (۱۳۹۷). روند وردایی فرین‌های اقلیمی براساس شاخص‌های ترکیبی تغییرات اقلیم در گستره ایران. *جغرافیا و مخاطرات محیطی*, ۷(۴)، ۱۱۰-۸۹. [doi.10.22067/GEO.V010.I.67984](https://doi.org/10.22067/GEO.V010.I.67984)
- اشرفی، سعیده. (۱۳۸۹). پهنه‌بندی شمال غرب ایران با استفاده از روش‌های تحلیل خوش‌های و تحلیل ممیزی. *پژوهش‌های اقلیم‌شناسی*, ۱(۳-۴)، ۴۴-۲۷.
- اصلاحی، مهدی؛ سبحانی، بهروز؛ پوراصلح، فرناز. (۱۳۸۹). بررسی و کاربرد شاخص خشکسالی تبخیر و تعرق بارش استانداردشده (SPEI). *پژوهش‌های اقلیم‌شناسی*, ۵(۱۹-۲۰)، ۳۸-۲۳.
- امین، پیمان؛ ملکی‌نژاد، حسین. (۱۳۹۶). بررسی و مقایسه دوره‌های خشکسالی با استفاده از نمایه‌های مبتنی بر بارش در برخی مناطق مرکزی و غرب کشور. *مدیریت حوزه آبخیز*, ۸(۱۶)، ۲۸۱-۲۷۱. [doi.10.29252/jwmr.8.16.271](https://doi.org/10.29252/jwmr.8.16.271)
- بابایی فینی، ام السمله؛ علیجانی، بهلوان. (۱۳۹۲). تحلیل فضایی خشکسالی‌های بلند مدت ایران. *پژوهش‌های جغرافیایی طبیعی*, ۴۵(۳)، ۱۲-۱۱. [doi.10.22059/JPHGR.2013.35831](https://doi.org/10.22059/JPHGR.2013.35831)
- بازگیر، سعید؛ اسعده اسکویی، ابراهیم؛ عباسی، فائزه؛ رضازاده، پرویز؛ حقیقت، مسعود. (۱۳۹۹). مطالعه تطبیقی کارابی برخی نمایه‌های خشکسالی هواشناسی در مناطق مختلف اقلیمی ایران. *تحقیقات آب و خاک ایران (علوم کشاورزی ایران)*, ۵۱(۱۱)، ۲۷۶۰-۲۷۵۱.
- پرک، فاطمه؛ خاکی، علی؛ روشنی، احمد. (۱۳۹۷). واکاوی اقلیم‌شناختی الگوهای واگرایی شار رطوبت در بارش‌های سنگین منجر به سیل در جنوب‌غرب ایران با تأکید بر سیلاب‌های فروردین ماه ۱۳۹۸. *هواشناسی و علوم جو*, ۱(۴)، ۳۸۰-۳۹۳.
- پرک، فاطمه؛ روشنی، احمد؛ علیجانی، بهلوان. (۱۳۹۴). واکاوی همدیدی سامانه کم‌شار سودانی در رخداد ترسالی‌ها و خشکسالی نیمه جنوبی ایران. *جغرافیا و مخاطرات محیطی*, ۴(۳)، ۷۵-۹۰. [doi.10.22067/GEO.V4I3.40062](https://doi.org/10.22067/GEO.V4I3.40062)
- تاج‌بخش، سحر؛ عیسی خانی، نسرین، فضل کاظمی، امین. (۱۳۹۴). ارزیابی خشکسالی هواشناسی در ایران با استفاده از شاخص «استانداردشده بارش و تبخیر- تعرق» (SPEI). *فیزیک زمین و فضا*, ۴۱(۲)، ۳۱۳-۳۲۱. [doi.10.22059/JESPHYS.2015.52888](https://doi.org/10.22059/JESPHYS.2015.52888)
- حجازی‌زاده، زهرا؛ عساکر، حسین؛ صیادی، فربیبا. (۱۳۹۵). تغییرات اقلیم و توزیع زمانی- مکانی بارش در پهنه ایران زمین. *جغرافیا*, ۱۴(۵۰)، ۵۴-۳۳.
- حکیم‌دوست، سیدیاسر؛ رستگار، محسن؛ پورزیده، علی‌محمد؛ حاتمی، حسین. (۱۳۹۳). تحلیل فضایی خشکسالی اقلیمی و اثرات آن بر الگوی فضایی مکان‌گزینی سکونتگاه‌های روستایی (مطالعه موردی روستاهای استان مازندران). *جغرافیا و مخاطرات محیطی*, ۳(۳)، ۷۶-۶۱. [doi.10.22067/GEO.V3I3.32701](https://doi.org/10.22067/GEO.V3I3.32701)
- خرانه‌داری، لیلی؛ زابل عباسی، فاطمه؛ قندهاری، شهرزاد؛ منصوره، کوهی؛ ملبوسی، شراره. (۱۳۸۸). دورنمایی از وضعیت خشکسالی ایران ایران طی سی سال آینده. *جغرافیا و توسعه ناحیه‌ای*, ۷(۱۲)، ۹۸-۸۳. [doi.10.22067/GEOGRAPHY.V7I12.8929](https://doi.org/10.22067/GEOGRAPHY.V7I12.8929)
- خسروی، محمود؛ زهرا، اکبر؛ حیدری، حسین؛ بنی نعیمه، سارا. (۱۳۹۱). تعیین مناطق هم خشکسالی استان گیلان با استفاده از شاخص ناهنجاری بارش. *جغرافیا و مخاطرات محیطی*, ۱(۳)، ۲۰-۱. [doi.10.22067/GEOGRAPHY.V7I12.8929](https://doi.org/10.22067/GEOGRAPHY.V7I12.8929)

- دانشمند، حجت‌الله؛ محمودی، پیمان. (۱۳۹۵). تحلیل طیفی خشکسالی‌های ایران. *ژئوفیزیک ایران*، ۱۰ (۴)، ۴۷-۲۸.
- دوسستان، رضا. (۱۳۹۸). تحلیل بر تحقیقات خشکسالی در ایران. *تحلیل فضایی مخاطرات محیطی*، ۶ (۴)، ۹۴-۵۳.
[doi.10.29252/isaeh.6.4.53](https://doi.org/10.29252/isaeh.6.4.53)
- دستکامیان، مهدی؛ عساکر، حسین؛ دارند، محمد. (۱۴۰۰). بررسی و تحلیل آشفتگی، نوسانات و جهش نواحی بارشی ایران. *تحقیقات کاربردی علوم جغرافیایی*، ۶۰ (۲۱)، ۱۴۹-۱۲۷.
- رضایی، حسین؛ خان‌محمدی، نداء؛ منتظری، مجید؛ بهمنش، جواد. (۱۳۹۷). ارزیابی انتخاب تابع توزیع احتمال مناسب در استفاده از اشخاص‌های خشکسالی SPI و RDI. *دانش آب و خاک (دانش کشاورزی)*، ۲۸ (۱)، ۴۰-۲۹.
- رضیئی، طیب؛ دانش‌کار آراسته، پیمان؛ ثقفان، بهرام. (۱۳۸۶). بررسی الگوی زمانی و مکانی خشکسالی‌های هواشناسی در استان سیستان-بلوچستان. *کشاورزی*، ۳۰ (۱)، ۹۹-۸۶.
- رنجبرسعادت‌آبادی، عباس؛ پناهی، علی؛ فتاحی، ابراهیم. (۱۳۹۳). تأثیر نابهنجاری‌های ماهانه الگوهای گردشی جو در رخداد دوره‌های خشک و تر در غرب و شمال‌غرب ایران. *اقلیم‌شناسی*، ۵ (۱۷-۱۸)، ۹۱-۱۰۹.
- طولاپی‌نژاد، میثم؛ حجازی‌زاده، زهرا؛ سلیقه، محمد. (۱۳۹۸). توزیع فضایی سامانه‌های بندالی و همزمان آن با ترسالی‌های فصل‌های سرد در ایران. *جغرافیا*، ۱۷ (۶۲)، ۴۰-۲۰.
- عزیزی، قاسم. (۱۳۷۹). ال‌نبیتو و دوره‌های خشکسالی-ترسالی در ایران. *پژوهش‌های جغرافیایی*، ۳۸ (۳۲)، ۸۴-۷۱.
- عسگری، احمد؛ رحیم‌زاده، فاطمه. (۱۳۸۲). برجستگی نوسان بارش در کشور نسبت به روند و جهش آن. *سومین کنفرانس و اولین کنفرانس ملی تغییر اقلیم*. اصفهان، ۲۹ مهر الی اول آبان سال ۱۳۸۲، ۲۴۲-۲۳۴.
- علیجانی، بهلول؛ بابایی فینی، ام‌السلمه. (۱۳۸۸). تحلیل فضایی خشکسالی‌های کوتاه‌مدت ایران. *جغرافیا و برنامه‌ریزی منطقه‌ای*، ۱ (پیش شماره)، ۱۲۱-۱۰۹.
- علیجانی، بهلول؛ ببابایی فینی، ام‌السلمه. (۱۳۹۵). تحلیل طیفی سری‌های زمانی بارش سالانه ایران. *جغرافیا و برنامه‌ریزی*، ۲۰ (۵۷)، ۲۳۷-۲۱۷.
- علیجانی، بهلول؛ دستکامیان، مهدی؛ اشرفی، سعیده؛ شاکری، فهیمه. (۱۳۹۴). بررسی تغییرات الگوهای خودهمبستگی فضایی درون دهه‌ای بارش ایران طی نیم قرن اخیر. *جغرافیا و آمایش شهری-منطقه‌ای*، ۵ (۱۴)، ۸۸-۷۱.
- علیزاده، شهمراد؛ محمدی، حسین. (۱۳۹۴). مدل‌سازی سیستم دینامیک با استفاده از الگوی توزیع زمانی و مکانی خشکسالی در ایران. *جغرافیا*، ۱۳ (۴۷)، ۱۶۰-۱۴۱.
- فاطمی، مهران؛ امیدوار، کمال؛ نازنگی‌فرد، مهدی؛ حاتمی بهمن بیگو، خداکرم. (۱۳۹۴). شناخت الگوهای همدید مؤثر بر دوره‌های ترسالی و خشکسالی در ایران مرکزی. *جغرافیای طبیعی*، ۸ (۲۹)، ۴۰-۱۹.
- [doi.10.1001.1.20085656.1394.8.29.2.3](https://doi.org/10.1001.1.20085656.1394.8.29.2.3)
- فتحی، ابراهیم؛ ببابایی فینی، ام‌السلمه. (۱۳۹۳). طبقه‌بندی الگوهای همدیدی بارش‌زا و خشکسالی‌زا در ایران زمین. *تحقیقات جغرافیایی*، ۲۹ (۱)، ۱۲۲-۱۰۵.
- فتحی، ابراهیم و بهیار، محمدمباقر. (۱۳۹۰). بررسی الگوهای سینوپتیکی خشکسالی‌های فراگیر در استان چهارمحال بختیاری. *تحقیقات جغرافیایی*، ۲۶ (۲)، شماره ۲، ۱۰۰-۷۹.
- کریمی احمدآباد، مصطفی؛ جعفری، مهناز؛ خوش‌احلاق، فرامرز؛ بازگیر، سعید. (۱۳۹۸). نقش تغییرات رطوبت انتقالیافته در رخداد خشکسالی و ترسالی ایران. *پژوهش‌های جغرافیایی طبیعی*، ۴ (۵۱)، ۵۶۲-۵۴۵.
- [doi.10.22059/JPHGR.2019.244445.1007134](https://doi.org/10.22059/JPHGR.2019.244445.1007134)
- کریمی، مصطفی؛ فرج‌زاده، منوچهر. (۱۳۹۰). شار رطوبت و الگوهای فضایی-زمانی منابع تأمین رطوبت بارش‌های ایران. *نشریه تحقیقات کاربردی علوم جغرافیایی*، ۱۱ (۲۲)، ۲۲-۳۸.
- کریمی، مصطفی؛ جعفری، مهناز. (۱۳۹۷). تغییرپذیری سالانه و روند تغییرات مساحت خشکسالی-ترسالی در ایران. *دومین کنفرانس ملی آب‌وهواشناسی ایران*، مشهد، ۶۱۰-۶۰۵.
- کریمی، مصطفی؛ حیدری، سوسن؛ رفعتی، سمیه. (۱۴۰۰). روند تغییرات مؤلفه‌های جوی چرخه آب (بارش و آب قابل بارش) در حوضه-های آبریز ایران. *تحلیل فضایی مخاطرات محیطی*، ۸ (۲۰)، ۵۴-۳۳.

- کریمی، مصطفی؛ خوش‌آخلاق، فرامرز؛ شمسی‌بور، علی‌اکبر؛ نوروزی، فهمیه. (۱۳۹۸). الگوهای گردشی پر اتفاق جنب‌حارة‌ای عربستان در تراز میانی و ارتباط آن با بارش ایران. *جغرافیا و برنامه‌ریزی*, ۲۳(۶۹)، ۲۳۳-۲۵۵.
- کشاورز، محمدرضاء؛ وظیفه دوست، مجید؛ فتاحی، ابراهیم؛ بهیار، محمدباقر. (۱۳۹۱). الگوی توزیعی جهت و شدت روند تغییرات ایران به کمک نمایه توزیعی شدت خشکسالی پالمر. *تحقیقات کاربردی علوم جغرافیایی*, ۱۲(۲۷)، ۱۱۰-۹۷.
- کیانیان، محمدکیا؛ صالح پورجم؛ حاجی‌محمدی، حسن؛ رسولی، فهیمه. (۱۳۹۵). بررسی و ارتباط خشکسالی و ترسالی‌های غرب ایران با الگوهای سینوپتیکی جو. *آمیش جغرافیا فضای ایران*, ۲۲(۲۲)، ۱۷۵-۱۹۲.
- کیانیان، محمدکیا؛ حاجی‌محمدی، حسن؛ کابلی، سیدحسن؛ مشکی، علیرضا؛ عسگری، حمیدرضا. (۱۳۹۷). مطالعه و شناسایی الگوهای دینامیکی همدیدی مؤثر بر رخداد خشکسالی‌های استان سمنان. *آمیش جغرافیایی فضای ایران*, ۲۸(۸)، ۳۲-۱۹.
- لشکری، حسن؛ متکان، علی‌اکبر؛ آزادی، مجید؛ محمدی، زینب. (۱۳۹۶). تحلیل همدیدی نقش پرشمار جنب‌حارة‌ای عربستان و رودبار جنب‌حارة‌ای در خشکسالی‌های شدید جنوب و جنوب‌غرب ایران. *پژوهش‌های دانش‌زمین*, ۳۰(۳)، ۱۶۳-۱۴۱. [doi.10.1001.1.20088299.1396.8.2.10.0](https://doi.org/10.1001.1.20088299.1396.8.2.10.0)
- متکان، علی‌اکبر؛ شکیبا، علیرضا؛ میرباقری، بابک؛ فلاحتی. (۱۳۹۳). محاسبه عدم قطعیت محلی و مکانی بارش با استفاده از الگوریتم‌های شبیه‌سازی زمین‌آماری SGS و CO-SGS. *سنجه‌از دور و GIS ایران*, ۶(۳)، ۱۵-۱۹.
- مجرد، فیروز؛ خیری، راضیه؛ نوری، زهرا. (۱۳۹۳). تحلیل فراوانی خشکسالی‌های روزانه در ایران با شاخص خشکسالی مؤثر. *تحقیقات کاربردی علوم جغرافیایی*, ۳۵(۱)، ۴۸-۲۹.
- محمودی، پیمان؛ دانشمند، حجت‌الله. (۱۳۹۷). کاربرد تحلیل موجک در شناسایی رفتار دوره‌ای خشکسالی‌های ایران. *جغرافیا و مخاطرات محیطی*, ۷(۱)، ۱۶۸-۱۵۳.
- محمودی، پیمان؛ رزمجو، سمیراء؛ جهانشاهی، سید مهدی امیر. (۱۳۹۹). همیوشانی دوره تناوب شاخص نوسان اطلس شمالی (NAO) با دوره تناوب خشکسالی‌ها و ترسالی‌های ایران. *ژئوفزیک ایران*, ۱۴(۱)، ۱۰۴-۹۱. [doi.10.30499/IJG.2020.104299](https://doi.org/10.30499/IJG.2020.104299)
- مسعودیان، ابوالفضل؛ کاویانی، محمدرضاء. (۱۳۸۷). اقلیم‌شناسی ایران، چاپ اول، انتشارات دانشگاه اصفهان.
- معروفی، صفر؛ طبری، حسین. (۱۳۹۰). آشکارسازی روند تغییرات دبی رودخانه مارون با استفاده از روش‌های پارمتری و ناپارمتری. *تحقیقات جغرافیایی*, ۲۶(۲)، ۱۴۶-۱۲۵.
- معصوم‌پور سماکوش، جعفر. (۱۳۸۴). مطالعه سینوپتیکی خشکسالی‌های فراغیر در سواحل جنوبی خزر، پایان‌نامه کارشناسی ارشد، جغرافیای طبیعی گرایش اقلیم‌شناسی، دانشکده جغرافی، دانشگاه تهران.
- موحدی، سعید؛ عساکر، حسین؛ سبزی‌پور، علی‌اکبر؛ مسعودیان، ابوالفضل؛ مریانجی، زهرا. (۱۳۹۰). بررسی تغییرپذیری رژیم بارش در ایران. *آب و خاک (علوم و صنایع کشاورزی)*, ۲۵(۶)، ۱۴۴۷-۱۴۳۴.
- [doi.10.22067/JSW.V010.12487](https://doi.org/10.22067/JSW.V010.12487)
- الوانکار، سیدرضا؛ نظری، فرزانه؛ فتاحی، ابراهیم. (۱۳۹۴). تأثیر تغییر اقلیم بر شدت و دوره بازگشت خشکسالی‌های ایران. *تحلیل فضایی مخاطرات محیطی*, ۳(۲)، ۱۲۰-۹۹.
- یزدانی، وحید؛ زارع‌ابیانه، حمید؛ شادمانی، مجتبی. (۱۳۹۰). تحلیل فراوانی و پنهان‌بندی خشکسالی‌های ایران با کاربرد نمایه شاخص استاندارد شده بارش. *مهندسی منابع آب*, ۸(۴)، ۴۳-۳۱.
- [doi.10.1001.1.20086377.1390.4.8.4.0](https://doi.org/10.1001.1.20086377.1390.4.8.4.0)
- Akhtari, R., Morid, S., Mahdian, M. H., & Smakhtin, V. (2009). Assessment of areal interpolation methods for spatial analysis of SPI and EDI drought indices. *International Journal of Climatology*, 29(1), 135-145. doi.org/10.1002/joc.1691
- Daneshmand, H. and Mahmoudi, P. (2017). Estimation and assessment of temporal stability of periodicities of droughts in Iran. *Water Resources Management*, 31(11), 3413-3426. doi.org/10.1007/s11269-017-1676-8
- Ekwezuo, C.S. and Madu, J.C. (2020). Evaluation of Different Rainfall-based Drought Indices Detection of Meteorological Drought Events in Imo State, Nigeria. *Journal of Applied Sciences and Environmental Management*, 24(4), 713-717. [doi.10.4314/jasem.v24i4.25](https://doi.org/10.4314/jasem.v24i4.25)
- Ely, L.L., Enzel, Y., Baker, V.R. and Cayan, D.R. (1993). A 5000-year record of extreme floods and climate change in the southwestern United States. *Science*, 262(5132), 410-412. [DOI: 10.1126/science.262.5132.410](https://doi.org/10.1126/science.262.5132.410)
- Forzieri, G., Feyen, L., Russo, S., Vousdoukas, M., Alfieri, L., Outten, S., Migliavacca, M., Bianchi, A., Rojas, R. and Cid, A. (2016). Multi-hazard assessment in Europe under climate change. *Climatic Change*, 137(1), 105-119. doi.org/10.1007/s10584-016-1661-x

- Ganji, M.H. (1968). Climate. In: The Cambridge History of Iran, the Land of Iran. Cambridge University Press.
- Gao, J., Holden, J. and Kirkby, M. (2016). The impact of land-cover change on flood peaks in peatland basins. *Water Resources Research*, 52(5), 3477-3492. doi.org/10.1002/2015WR017667
- HadiPour, S.H., Abd Wahab, A.K. and Shahid, S. (2020). Spatiotemporal changes in precipitation indicators related to bioclimate in Iran. *Theoretical and Applied Climatology*, 141(1), 99-115. [DOI: 10.1007/s00704-020-03192-6](https://doi.org/10.1007/s00704-020-03192-6)
- Hayes, M. J., Svoboda, M. D., Wardlow, B. D., Anderson, M. C., and Kogan, F. (2012). Drought monitoring: Historical and current perspectives.
- Heim Jr, R. R. (2002). A review of twentieth-century drought indices used in the United States. *Bulletin of the American Meteorological Society*, 83(8), 1149-1166. doi.org/10.1175/1520-0477-83.8.1149
- Hersbach, H., D., Dee. (2016). ERA5 reanalysis is in production. *ECMWF Newsletter No. 147*, 7.
- Hosseini, A., Ghavidel, Y., Khorshidouost, A. M., and Farajzadeh, M. (2021). Spatio-temporal analysis of dry and wet periods in Iran by using the Global Precipitation Climatology Center-Drought Index (GPCC-DI). *Theoretical and Applied Climatology*, 143(3), 1035-1045. [DOI: 10.1007/s00704-020-03463-2](https://doi.org/10.1007/s00704-020-03463-2)
- Khojasteh, A., 2020. Cyclone tracking affecting precipitation in Iran. *Arabian Journal of Geosciences*, 13(18), 1-16.
- Kim, S., Kim, B., Ahn, T. J., & Kim, H. S. (2011). Spatio-temporal characterization of Korean drought using severity-area-duration curve analysis. *Water and Environment Journal*, 25(1), 22-30. doi.org/10.1111/j.1747-6593.2009.00184.x
- Lin, H., Wang, J., Li, F., Xie, Y., Jiang, C., & Sun, L. (2020). Drought Trends and the Extreme Drought Frequency and Characteristics under Climate Change Based on SPI and HI in the Upper and Middle Reaches of the Huai River Basin, China. *Water*, 12(4), 1100. doi.org/10.3390/w12041100
- Liu, Z., Menzel, L., Dong, C., & Fang, R. (2016a). Temporal dynamics and spatial patterns of drought and the relation to ENSO: a case study in Northwest China. *International Journal of Climatology*, 36(8), 2886-2898. doi.org/10.1002/joc.4526
- Liu, Z., Wang, Y., Shao, M., Jia, X., & Li, X. (2016b). Spatiotemporal analysis of multiscalar drought characteristics across the Loess Plateau of China. *Journal of Hydrology*, 534, 2. 81-299. doi.org/10.1016/j.jhydrol.2016.01.003
- Mahajan, D. R., & Dodamani, B. M. (2015). Trend analysis of drought events over the upper Krishna basin in Maharashtra. *Aquatic Procedia*, 4, 1250-1257. doi.org/10.1016/j.aqpro.2015.02.163
- Mallick, J., Talukdar, S., Alsubih, M., Salam, R., Ahmed, M., Kahla, N.B. and Shamimuzzaman, M. (2021). Analyzing the trend of rainfall in the Asir region of Saudi Arabia using the family of Mann-Kendall tests, innovative trend analysis, and detrended fluctuation analysis. *Theoretical and Applied Climatology*, 143(1), 823-841. doi.org/10.1007/s00704-020-03448-1
- Mirza, M.M.Q. (2002). Global warming and changes in the probability of occurrence of floods in Bangladesh and implications. *Global environmental change*, 12(2), 127-138. [doi.org/10.1016/S0959-3780\(02\)00002-X](https://doi.org/10.1016/S0959-3780(02)00002-X)
- Mishra, A. K., Singh, V. P., & Desai, V. R. (2009). Drought characterization: a probabilistic approach. *Stochastic Environmental Research and Risk Assessment*, 23(1), 41-55. doi.org/10.1007/s00477-007-0194-2
- Modarres, R., Sarhadi, A. and Burn, D.H. (2016). Changes in extreme drought and flood events in Iran. *Global and Planetary Change*, 144, 67-81. doi.org/10.1016/j.gloplacha.2016.07.008
- Nastas, P.T. and Zerefos, C.S. (2009). Spatial and temporal variability of consecutive dry and wet days in Greece. *Atmospheric Research*, 94(4), 616-628. [DOI: 10.1016/j.atmosres.2009.03.009](https://doi.org/10.1016/j.atmosres.2009.03.009)
- Patil, S. R. (2013). Analysis of Spatial Performance of Meteorological Drought Indices. Master of Science Thesis. Supervisor: Steven Quiring. Texas A&M University.
- Peterson, T.C., Heim, R.R., Hirsch, R., Kaiser, D.P., Brooks, H., Diffenbaugh, N.S., Dole, R.M., Giovannettone, J.P., Guirguis, K., Karl, T.R. and Katz, R.W. (2013). Monitoring and understanding changes in heat waves, cold waves, floods, and droughts in the United States: State of knowledge. *Bulletin of the American Meteorological Society*, 94(6), 821-834. doi.org/10.1175/BAMS-D-12-00061
- Rahimi, J., Ebrahimpour, M. and Khalili, A. (2013). Spatial changes of extended De Martonne climatic zones affected by climate change in Iran. *Theoretical and applied climatology*, 112(3), 409-418. doi.org/10.1007/s00704-012-0741-8
- Rakhmatova, N., Arushanov, M., Shardakova, L., Nishonov, B., Taryannikova, R., Rakhmatova, V. and Belikov, D.A. (2021). Evaluation of the Perspective of ERA-Interim and ERA5 Reanalyses for Calculation of Drought Indicators for Uzbekistan. *Atmosphere*, 12(5), 1-14. doi.org/10.3390/atmos12050527
- Raziei, T., Saghafian, B., Paulo, A.A., Pereira, L.S. and Bordi, I. (2009). Spatial patterns and temporal variability of drought in western Iran. *Water resources management*, 23(3), 439-455. doi.org/10.1007/s11269-008-9282-4
- Rodriguez-Puebla, C., Encinas, A.H., Nieto, S. and Garmendia, J. (1998). Spatial and temporal patterns of annual precipitation variability over the Iberian Peninsula. *International Journal of Climatology: A Journal of the Royal Meteorological Society*, 18(3), 299-316. [doi.org/10.1002/\(SICI\)1097-0088\(19980315\)18:3<299::AID-JOC247>3.0.CO;2-L](https://doi.org/10.1002/(SICI)1097-0088(19980315)18:3<299::AID-JOC247>3.0.CO;2-L)
- Savari, M., Damaneh, H. E., & Damaneh, H. E. (2022). Drought vulnerability assessment: Solution for risk alleviation and drought management among Iranian farmers. *International Journal of Disaster Risk Reduction*, 102654. doi.org/10.1016/j.ijdr.2021.102654
- Singh, D., Tsiang, M., Rajaratnam, B. and Diffenbaugh, N.S., (2014). Observed changes in extreme wet and dry spells during the South Asian summer monsoon season. *Nature Climate Change*, 4(6), 456-461. doi.org/10.1038/nclimate2208
- Sun, S.L., Li, Q., Li, J., Wang, G. (2019). Revisiting the evolution of the 2009–2011 meteorological drought over Southwest China. *J. Hydrol.* 568, 385–402. doi.org/10.1016/j.jhydrol.2018.10.071
- Tech, T., 2011. Statistical analysis for monotonic trends.

- Triola, M.F. (1995). Elementary Statistics ((6th edition)), Addison-Wesley: Reading, MA (1995), 691-693.
- Tsakiris, G., & Vangelis, H. (2004). Towards a drought watch system based on spatial SPI. Water resources management, 18(1), 1-12. doi.org/10.1023/B:WARM.0000015410.47014.a4
- Vicente-Serrano, S. M., Beguería, S., & López-Moreno, J. I. (2010). A multiscale drought index sensitive to global warming: the standardized precipitation evapotranspiration index. Journal of Climate, 23(7), 1696-1718. doi.org/10.1175/2009JCLI2909.1
- Wang, G., Zhang, X., and Zhang, S. (2019). Performance of three reanalysis precipitation datasets over the Qinling-Daba mountains, eastern fringe of Tibetan plateau, China. Advances in Meteorology, 2019. doi.org/10.1155/2019/7698171
- Wang, J. and Zhang, X. (2008). Downscaling and projection of winter extreme daily precipitation over North America. Journal of Climate, 21(5), 923-937. doi.org/10.1175/2007JCLI1671.1
- Yao, N., Li, Y., Lei, T., et al. (2018). Drought evolution, severity and trends in mainland China over 1961–2013. Sci. Total Environ. 616–617, 73–89. [DOI: 10.1016/j.scitotenv.2017.10.327](https://doi.org/10.1016/j.scitotenv.2017.10.327).



References

References (in Persian)

- Alijani, B., & Babaei, O. (2009). Spatial analysis of short-term droughts in Iran. *Iran. Geogr. Region. Plan.*, 1, 109-121. [In Persian]
- Alijani, B., Bayat, A., Doostkamian, M., & Balyani, Y. (2016). Spectral analysis of time series for annual precipitations in Iran. *Geography and planning*, 20(57), 217-236. [In Persian]
- Alijani, D., Doostkamian, M., Ashrafi, S., & Shakeri, F. (2015). Review the changes in spatial autocorrelation patterns within a decade of precipitation over the last half-century in Iran. *Geography and Territorial Spatial Arrangement*, 5(14), 71-88. [doi.10.22111/GAJI.2015.1914](https://doi.org/10.22111/GAJI.2015.1914). [In Persian].
- Alizadeh, SH., H., Mohammadi. (2016). Dynamic System Modeling. *Geography* . 141-160. [In Persian]
- Alvankar, S. R., & Fattah, E. (2016). The Intensity and Return Periods of Drought under Future Climate Change Scenarios in Iran. *Journal of Spatial Analysis Environmental Hazards*, 3(2), 99-120. [doi.10.18869/acadpub.jsaeh.3.2.99](https://doi.org/10.18869/acadpub.jsaeh.3.2.99). [In Persian].
- Amin, P. M., & Malekinejad, H. (2018). Investigating the drought periods using precipitation-based indices in some regions in central and Western Iran. *J Watershed Manag Res*, 8(16), 271-81. [DOI:10.29252/jwmr.8.16.271](https://doi.org/10.29252/jwmr.8.16.271). [In Persian].
- Asgari, A; Rahimzadeh, F. (2003). The prominence of precipitation fluctuations in the country concerning its trend and jump. *Third Conference and First National Conference on Climate Change*. Isfahan, October 20 to November 1, 2003, 242-234. [In Persian]
- Ashrafi, Saeedeh. 2010. Zoning of northwestern Iran using the methods of cluster analysis and Discriminant Analysis. *Climatological researches*. Vol 1, Num 3-4, 44-27. [In Persian]
- Azizi, G. (2000). Elnino and drought-wet periods in the climate of Iran. *Geographical research quarterly*. Vol 38, issue 0. 1426. [In Persian]
- Babaee, O., & Alijani, B. (2013). Spatial analysis of long-duration droughts in Iran. *Physical Geography Research Quarterly*, 45(3), 1-12. [DOI:10.22059/JPHGR.2013.35831](https://doi.org/10.22059/JPHGR.2013.35831). [In Persian].
- Bazgeer, S., Asadi Oskouei, E., Abbasi, F., Rezazadeh, P., Haghhighat, M. (2021). Comparative Study of Efficiency of Some Meteorological Drought Indices in Different Climate Regions of Iran. *Iranian Journal of Soil and Water Research*. 51(11), 2751-2760. [doi.10.22059/IJSWR.2020.301067.668581](https://doi.org/10.22059/IJSWR.2020.301067.668581). [In Persian].
- Daneshmand, H., & Mahmoudi, P. (2016). Spectral analysis of Iran's droughts. Vol 10(4), Num 5, 28-47. [In Persian]
- Doostan, R. (2020). Analysis of drought research in Iran. *Spatial Analysis*. Vol 6(4), 53-94. [DOI 10.29252/jsaeh.6.4.53](https://doi.org/10.29252/jsaeh.6.4.53). [In Persian].
- Doustkamian, M., Asakareh, H., Darand, M. (2021), Investigation and analysis of turbulence and fluctuations of rainfall regions of Iran. *Research in Geographic Sciences*, Vol 21(60), 127-149. [doi.10.52547/jgs.21.60.127](https://doi.org/10.52547/jgs.21.60.127). [In Persian].
- Eslahi, M., Sobhani, B., & Pourasghar, F. (2014). Studying and applying the standardized precipitation evapotranspiration index (Case study: Tabriz Meteorological Station). *Journal of Climate Research*, 1393(19), 23-38. [In Persian]
- Esmaeili, H., Roshani, A., Parak, F. (2018). Trend analysis of climate compound extreme indices in IRAN, *Journal of Meteorology and Atmospheric Science*, 1(2), 97-113. [doi.10.22067/GEO.V010.67984](https://doi.org/10.22067/GEO.V010.67984). [In Persian].
- Fatahi, E., & Behyar, M. (2011). Investigation of synoptic patterns of pervasive drought in Chahar-Mahal and Bakhtiari Province, Iran. *Geography Researches*, 26(101), 79-100. [In Persian]
- Fatemi, M., Omidvar, K., Narangifard, M., and Hatami Bahman Beiglou, K. (2015). Investigating The Synoptic Patterns Effective in Drought and Wet Years in Central Iran. 19-40. [doi.20.1001.1.20085656.1394.8.29.2.3](https://doi.org/10.1001.1.20085656.1394.8.29.2.3). [In Persian].
- Fattah, Ibrahim and Babaei Fini, Umm al-Salam. (2014). Classification of synoptic patterns of precipitation and drought in Iran. *Geographical Research*, No., 1: 122-105. [In Persian]
- Hakimdst, Y., Rastegar, M., Pourzeidi, A., & Hatami, H. (2014). Analysis of the Climate Drought and Its Effects on Spatial Patterns of Location in Rural Settlement (Case Study Villages in Mazandaran Province). *Journal of Geography and Environmental Hazards*, 3(3), 61-76. [doi.10.22067/GEO.V313.32701](https://doi.org/10.22067/GEO.V313.32701). [In Persian].
- Hejazizadeh, Zahra; Askareh, Hussein; Siyadi, Fariba. (2016). Climate change and temporal-spatial distribution of precipitation in Iran. *Geography. New Volume*, Year of Jihad, No. 50, 54-33. [In Persian]
- Karimi Ahmadabad, M., Jafari, M., Khoshakhlagh, F., & Bazgir, S. (2019). The role of transmitted moisture changes in the occurrence of drought and wet years in Iran. *Physical Geography Research Quarterly*, 51(4), 545-562. [doi.10.22059/JPHGR.2019.244445.1007134](https://doi.org/10.22059/JPHGR.2019.244445.1007134). [In Persian].
- Karimi, M. and Jafari, M. (2018). The Variability and Change Trend of Drought-Wet Area in Iran. The 2nd National Conference on the Climatology of Iran, Mashhad, Ferdowsi University of Mashhad. 610-605. [In Persian]
- Karimi, M., Heidari, S., & Rafati, S. (2021). The trend of atmospheric water cycle components (precipitation and precipitable water) in catchments of Iran. *Journal of Spatial Analysis Environmental Hazards*, 8(2), 0-0. [In Persian]
- Karimi, M., Khoshakhlagh, F., Shamsi Por, A. A., & Noruzi, F. (2019). Arabian subtropical High-Pressure circulation patterns in the middle troposphere and its relationship with Iran's Precipitation. *Geography and Planning*, 23(69), 233-255. [In Persian]
- Karimi, Mostafa, Farajzade, M. (2011), Moisture flux and Spatio-temporal pattern of Moisture Supplying Sources for Iran's Precipitation. *Applied Researches in Geographical Sciences* 19, no. 22, 109-123. [In Persian]

- Keshavarz MR, Vazifedoust M, Fatahi E, Behyar MB (2012) Distribution pattern of direction and intensity of drought changes in Iran using Palmer drought intensity distribution index. *J Appl Res Geogr Sci* 27, 98–101. [In Persian]
- Khazanедari, L., Zabol, A. F., Ghandhari, S., Kouhi, M., & Malbousi, S. (2009). Drought conditions in the next thirty years in Iran. [doi.10.22067/GEOGRAPHY.V7I12.8929](https://doi.org/10.22067/GEOGRAPHY.V7I12.8929). [In Persian].
- Khosravi, M., Zahraei, A., Heydari, H., Bani naimeh, S. (2012). Designated drought regions of Gilan using the rainfall anomaly index. *Journal of Geography and Environmental Hazards*, 1(3), 1-20. [In Persian]
- Kianian, M. K., Haji Mohamdi, H., Kaboli, S. H., Meshkhi, A. R., & Asgari, H. R. (2018). Studying and identifying Dynamic synoptic patterns affecting droughts occurrence in Semnan province. *Geographical Planning of Space*, 8(28), 19-32. [In Persian]
- Kianian, M; Saleh P; Haji Mohammadi, H; Rasooli, F. (2016). Review and relationship between Western Iranian Wet years and drought and atmospheric synoptic patterns. *Geographical Planning of Space Quarterly*, Vol 6(22), 192-175. [In Persian]
- Lashkari, H., Matkan, A.A., Azadi, M. and Mohammadi, Z. (2017). Synoptic analysis of the role of Saudi Arabia's subtropical high pressure subtropical and polar jet streams and severe droughts in the South and South West of Iran. *Journal of Researches in Earth Sciences*, 8(2), 141-163. [DOI. 20.1001.1.20088299.1396.8.2.10.0](https://doi.org/10.1001.1.20088299.1396.8.2.10.0). [In Persian].
- Mahmoudi, P., & Daneshmand, H. (2018). The Application of Wavelet Analysis to Identify the Periodic Behavior of Droughts in Iran. *Journal of Geography and Environmental Hazards*, 7(1), 153-168. [In Persian]
- Mahmoudi, P., Razmjoo, S., & Amir Jahanshahi, S. M. (2020). Overlap of North Atlantic Oscillation (NAO) periodicities with periodicities of droughts and wet years of Iran. *Iranian Journal of Geophysics*, 14(1), 91-104. [In Persian]. [doi.10.30499/IJG.2020.104299](https://doi.org/10.30499/IJG.2020.104299)
- Marofi, S., & Tabari, H. (2011). Detection of Maroon River flow trends using parametric and non-parametric methods. *Geographical research*. Vol 26, Num2 (101), 125-146. [In Persian]
- Masoompour Samakoush, J. (2005). Synoptic study of pervasive droughts on the southern shores of the Caspian Sea, M.Sc. Thesis, Natural Geography, Climatology, Faculty of Geography, University of Tehran. [In Persian]
- Masoudian, A, Kaviani, M, R. (2008). *Iranian Climatology*, First Edition, University of Isfahan Press. [In Persian]
- Mohammadi, B. (2011). Trend Analysis of annual rainfall over Iran. *Geography and Environmental Planning*. 22(3), 95-106. [In Persian]
- Mojarad F, Kheiri R, Nouri Z (2014) Analysis of the frequency of daily droughts in Iran with effective drought index. *Applied Research in Geographical Sciences* 35, 29-48. [In Persian]
- Movahedi, S., Asakereh, H., Sabzi Parvar, A. A., Masoudian, A., Maryanji, Z. (2012). Investigating the variability of precipitation regime in Iran. *water and soil*. 25(6), 1434-1446. [doi.10.22067/JSW.V010.12487](https://doi.org/10.22067/JSW.V010.12487). [In Persian].
- Mutkan, A., A; Shakiba, A. R; Mirbagheri, Falahi. B. (2011). Calculation of Local and Spatial Uncertainty of Precipitation Using Geostatistical SGS and CO-SGS Simulation Algorithms. *Num* 3(6), 1-15. [In Persian]
- Parak, F., Khaki, A., & Roshani, A. (2019). A climatological study of moisture flux divergence patterns in heavy rainfall leading to floods in southwestern Iran with emphasis on April 2019 floods. *Journal of Meteorology and Atmospheric Science*, 1(4), 380-393. [In Persian]
- Parak, F., Roshani, A., & Alijani, B. (2015). Synoptic Investigation of the Role of the Sudanese Low-Pressure System during Wet and Drought Years in the Southern Half of Iran. *Journal of Geography and Environmental Hazards*, 4(3), 75-90. [doi.10.22067/GEO.V4I3.40062](https://doi.org/10.22067/GEO.V4I3.40062). [In Persian].
- Ranjbar SaadatAbadi, A., Panahi, A., & Fatahi, E. (2014). Influence of Monthly Atmospheric Circulation Patterns Anomalies on Wet/Dry conditions in the West and Northwest of IRAN. *Journal of Climate Research*, 1393(17), 91-109. [In Persian]
- Raziei, Tayeb; Knowledge of adorned work, covenant; Saghfyan, B. (2007). Investigation of the temporal and spatial pattern of meteorological droughts in Sistan and Baluchestan province. *Agriculture*. Volume 30, Number 1, 99-86. [In Persian]
- Rezaie, H., Khanmohammadi, N., Montazeri, M. and Behmanesh, G., (2018). Evaluating the Selection of the Most Suitable Probability Distribution Function for Using the RDI and SPI Drought Indices. *Water and Soil Science*, 28(1), 29-40. [In Persian]
- Tajbakhsh, S., Eisakhani, N., & Fazl Kazemi, A. (2015). Assessment of meteorological drought in Iran using standardized precipitation and evapotranspiration index (SPEI). *Journal of the Earth and Space Physics*, 41(2), 313-321. [In Persian]. [doi.10.22059/JESPHYS.2015.52888](https://doi.org/10.22059/JESPHYS.2015.52888)
- ToulabiNefad, M; Hejazizadeh, Z & Salighe, M. Spatial distribution of Bandali systems and its synchronization with cold season wetlands in Iran, *Geography*, 17(62), 20-40. [In Persian]
- Yazdani, V; Zareabianeh, H; Shadmani, M. (2011). Frequency analysis and zoning of Iranian droughts using standardized precipitation index. *Warer*, 4, 31-43. [DOI. 20.1001.1.20086377.1390.4.8.4.0](https://doi.org/10.1001.1.20086377.1390.4.8.4.0). [In Persian].

References (in English)

- Akhtari, R., Morid, S., Mahdian, M. H., & Smakhtin, V. (2009). Assessment of areal interpolation methods for spatial analysis of SPI and EDI drought indices. *International Journal of Climatology*, 29(1), 135-145. doi.org/10.1002/joc.1691
- Daneshmand, H. and Mahmoudi, P. (2017). Estimation and assessment of temporal stability of periodicities of droughts in Iran. *Water Resources Management*, 31(11), 3413-3426. doi.org/10.1007/s11269-017-1676-8
- Ekwezuo, C.S. and Madu, J.C. (2020). Evaluation of Different Rainfall-based Drought Indices Detection of Meteorological Drought Events in Imo State, Nigeria. *Journal of Applied Sciences and Environmental Management*, 24(4), 713-717. [doi.10.4314/jasem.v24i4.25](https://doi.org/10.4314/jasem.v24i4.25)

- Ely, L.L., Enzel, Y., Baker, V.R. and Cayan, D.R. (1993). A 5000-year record of extreme floods and climate change in the southwestern United States. *Science*, 262(5132), 410-412. [DOI: 10.1126/science.262.5132.4](https://doi.org/10.1126/science.262.5132.4)
- Forzieri, G., Feyen, L., Russo, S., Vousdoukas, M., Alfieri, L., Outten, S., Migliavacca, M., Bianchi, A., Rojas, R. and Cid, A. (2016). Multi-hazard assessment in Europe under climate change. *Climatic Change*, 137(1), 105-119. doi.org/10.1007/s10584-016-1661-x
- Ganji, M.H. (1968). Climate. In: *The Cambridge History of Iran, the Land of Iran*. Cambridge University Press.
- Gao, J., Holden, J. and Kirkby, M. (2016). The impact of land-cover change on flood peaks in peatland basins. *Water Resources Research*, 52(5), 3477-3492. doi.org/10.1002/2015WR017667
- HadiPour, S.H., Abd Wahab, A.K. and Shahid, S. (2020). Spatiotemporal changes in precipitation indicators related to bioclimate in Iran. *Theoretical and Applied Climatology*, 141(1), 99-115. [DOI: 10.1007/s00704-020-03192-6](https://doi.org/10.1007/s00704-020-03192-6)
- Hayes, M. J., Svoboda, M. D., Wardlow, B. D., Anderson, M. C., and Kogan, F. (2012). Drought monitoring: Historical and current perspectives.
- Heim Jr, R. R. (2002). A review of twentieth-century drought indices used in the United States. *Bulletin of the American Meteorological Society*, 83(8), 1149-1166. doi.org/10.1175/1520-0477-83.8.1149
- Hersbach, H., D., Dee. (2016). ERA5 reanalysis is in production. *ECMWF Newsletter* No. 147, 7.
- Hosseini, A., Ghavidel, Y., Khorshidoust, A. M., and Farajzadeh, M. (2021). Spatio-temporal analysis of dry and wet periods in Iran by using the Global Precipitation Climatology Center-Drought Index (GPCC-DI). *Theoretical and Applied Climatology*, 143(3), 1035-1045. [DOI: 10.1007/s00704-020-03463-2](https://doi.org/10.1007/s00704-020-03463-2)
- Khojasteh, A., 2020. Cyclone tracking affecting precipitation in Iran. *Arabian Journal of Geosciences*, 13(18), 1-16.
- Kim, S., Kim, B., Ahn, T. J., & Kim, H. S. (2011). Spatio-temporal characterization of Korean drought using severity-area-duration curve analysis. *Water and Environment Journal*, 25(1), 22-30. doi.org/10.1111/j.1747-6593.2009.00184.x
- Lin, H., Wang, J., Li, F., Xie, Y., Jiang, C., & Sun, L. (2020). Drought Trends and the Extreme Drought Frequency and Characteristics under Climate Change Based on SPI and HI in the Upper and Middle Reaches of the Huai River Basin, China. *Water*, 12(4), 1100. doi.org/10.3390/w12041100
- Liu, Z., Menzel, L., Dong, C., & Fang, R. (2016a). Temporal dynamics and spatial patterns of drought and the relation to ENSO: a case study in Northwest China. *International Journal of Climatology*, 36(8), 2886-2898. doi.org/10.1002/joc.4526
- Liu, Z., Wang, Y., Shao, M., Jia, X., & Li, X. (2016b). Spatiotemporal analysis of multiscalar drought characteristics across the Loess Plateau of China. *Journal of Hydrology*, 534, 2. 81-299. doi.org/10.1016/j.jhydrol.2016.01.003
- Mahajan, D. R., & Dodamani, B. M. (2015). Trend analysis of drought events over the upper Krishna basin in Maharashtra. *Aquatic Procedia*, 4, 1250-1257. doi.org/10.1016/j.aqpro.2015.02.163
- Mallick, J., Talukdar, S., Alsubih, M., Salam, R., Ahmed, M., Kahla, N.B. and Shamimuzzaman, M. (2021). Analyzing the trend of rainfall in the Asir region of Saudi Arabia using the family of Mann-Kendall tests, innovative trend analysis, and detrended fluctuation analysis. *Theoretical and Applied Climatology*, 143(1), 823-841. doi.org/10.1007/s00704-020-03448-1
- Mirza, M.M.Q. (2002). Global warming and changes in the probability of occurrence of floods in Bangladesh and implications. *Global environmental change*, 12(2), 127-138. [doi.org/10.1016/S0959-3780\(02\)00002-X](https://doi.org/10.1016/S0959-3780(02)00002-X)
- Mishra, A. K., Singh, V. P., & Desai, V. R. (2009). Drought characterization: a probabilistic approach. *Stochastic Environmental Research and Risk Assessment*, 23(1), 41-55. doi.org/10.1007/s00477-007-0194-2
- Modarres, R., Sarhadi, A. and Burn, D.H. (2016). Changes in extreme drought and flood events in Iran. *Global and Planetary Change*, 144, 67-81. doi.org/10.1016/j.gloplacha.2016.07.008
- Nastos, P.T. and Zerefos, C.S. (2009). Spatial and temporal variability of consecutive dry and wet days in Greece. *Atmospheric Research*, 94(4), 616-628. [DOI: 10.1016/j.atmosres.2009.03.009](https://doi.org/10.1016/j.atmosres.2009.03.009)
- Patil, S. R. (2013). Analysis of Spatial Performance of Meteorological Drought Indices. Master of Science Thesis. Supervisor: Steven Quiring. Texas A&M University.
- Peterson, T.C., Heim, R.R., Hirsch, R., Kaiser, D.P., Brooks, H., Diffenbaugh, N.S., Dole, R.M., Giovannettone, J.P., Guirguis, K., Karl, T.R. and Katz, R.W. (2013). Monitoring and understanding changes in heat waves, cold waves, floods, and droughts in the United States: State of knowledge. *Bulletin of the American Meteorological Society*, 94(6), 821-834. doi.org/10.1175/BAMS-D-12-00066.1
- Rahimi, J., Ebrahimpour, M. and Khalili, A. (2013). Spatial changes of extended De Martonne climatic zones affected by climate change in Iran. *Theoretical and applied climatology*, 112(3), 409-418. doi.org/10.1007/s00704-012-0741-8
- Rakhmatova, N., Arushanov, M., Shardakova, L., Nishonov, B., Taryannikova, R., Rakhmatova, V. and Belikov, D.A. (2021). Evaluation of the Perspective of ERA-Interim and ERA5 Reanalyses for Calculation of Drought Indicators for Uzbekistan. *Atmosphere*, 12(5), 1-14. doi.org/10.3390/atmos12050527
- Raziei, T., Saghafian, B., Paulo, A.A., Pereira, L.S. and Bordi, I. (2009). Spatial patterns and temporal variability of drought in western Iran. *Water resources management*, 23(3), 439-455. doi.org/10.1007/s11269-008-9282-4
- Rodriguez-Puebla, C., Encinas, A.H., Nieto, S. and Garmendia, J. (1998). Spatial and temporal patterns of annual precipitation variability over the Iberian Peninsula. *International Journal of Climatology: A Journal of the Royal Meteorological Society*, 18(3), 299-316. [doi.org/10.1002/\(SICI\)1097-0088\(19980315\)18:3<299::AID-JOC247>3.0.CO;2-L](https://doi.org/10.1002/(SICI)1097-0088(19980315)18:3<299::AID-JOC247>3.0.CO;2-L)
- Savari, M., Damaneh, H. E., & Damaneh, H. E. (2022). Drought vulnerability assessment: Solution for risk alleviation and drought management among Iranian farmers. *International Journal of Disaster Risk Reduction*, 102654. doi.org/10.1016/j.ijdrr.2021.102654
- Singh, D., Tsiang, M., Rajaratnam, B. and Diffenbaugh, N.S., (2014). Observed changes in extreme wet and dry spells during the South Asian summer monsoon season. *Nature Climate Change*, 4(6), 456-461. doi.org/10.1038/nclimate2208

- Sun, S.L., Li, Q., Li, J., Wang, G. (2019). Revisiting the evolution of the 2009–2011 meteorological drought over Southwest China. *J. Hydrol.* 568, 385–402. doi.org/10.1016/j.jhydrol.2018.10.071
- Tech, T., 2011. Statistical analysis for monotonic trends.
- Triola, M.F. (1995). Elementary Statistics ((6th edition)), Addison-Wesley: Reading, MA (1995), 691-693.
- Tsakiris, G., & Vangelis, H. (2004). Towards a drought watch system based on spatial SPI. *Water resources management*, 18(1), 1-12. doi.org/10.1023/B:WARM.0000015410.47014.a4
- Vicente-Serrano, S. M., Beguería, S., & López-Moreno, J. I. (2010). A multiscalar drought index sensitive to global warming: the standardized precipitation evapotranspiration index. *Journal of Climate*, 23(7), 1696-1718. doi.org/10.1175/2009JCLI2909.1
- Wang, G., Zhang, X., and Zhang, S. (2019). Performance of three reanalysis precipitation datasets over the Qinling-Daba mountains, eastern fringe of Tibetan plateau, China. *Advances in Meteorology*, 2019. doi.org/10.1155/2019/7698171
- Wang, J. and Zhang, X. (2008). Downscaling and projection of winter extreme daily precipitation over North America. *Journal of Climate*, 21(5), 923-937. doi.org/10.1175/2007JCLI1671.1
- Yao, N., Li, Y., Lei, T., et al. (2018). Drought evolution, severity and trends in mainland China over 1961–2013. *Sci. Total Environ.* 616–617, 73–89. [DOI: 10.1016/j.scitotenv.2017.10.327](https://doi.org/10.1016/j.scitotenv.2017.10.327).

